

# Моделирование распространения трещин, нагруженных давлением вязкой жидкости

Лапин Василий Николаевич

Институт теплофизики СО РАН, Новосибирск

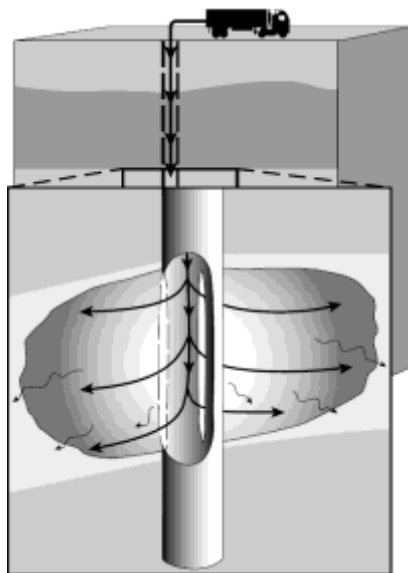
По материалам диссертации на соискание ученой степени доктора физико-математических наук  
05.13.18 – математическое моделирование, численные методы и комплексы программ

Научный консультант д.ф.-м.н. Черный С.Г.

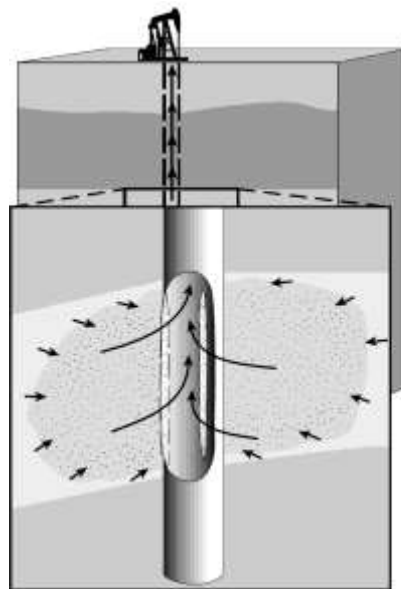
# Актуальность

Закон Дарси для описания фильтрация жидкости в пористой среде

$$\mathbf{u} = -\frac{k}{\mu} \nabla p$$



Жидкость закачивается в скважину  
Образуется трещина  
Трещина заполняется проппантом



Нефть/газ фильтруется к скважине  
через высоко проницаемую трещину

Способы повышения дебита скважины

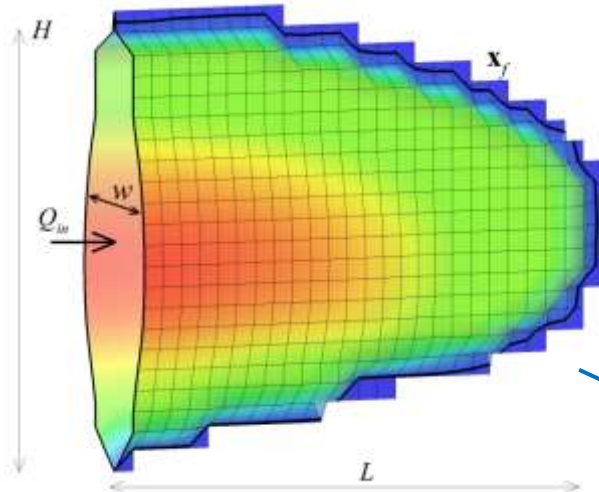
Поддержка пластового давления	$\nabla p$
Тепловое воздействие	$\mu$
Гидро разрыв	$k$



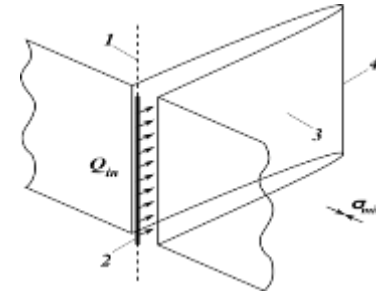
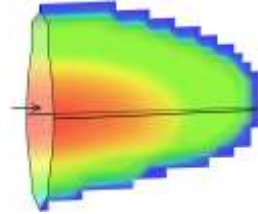
**Начальный этап:** переориентация трещины от перфорации на основное направление

# История моделирования гидроразрыва

## Плоские трехмерные модели

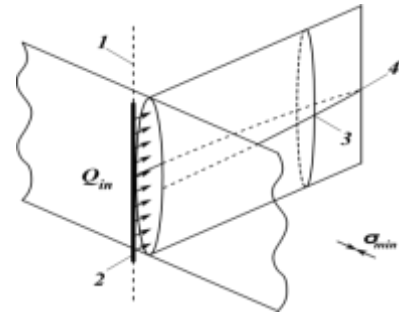
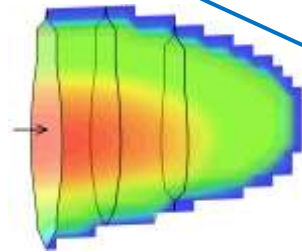


$H \gg L$



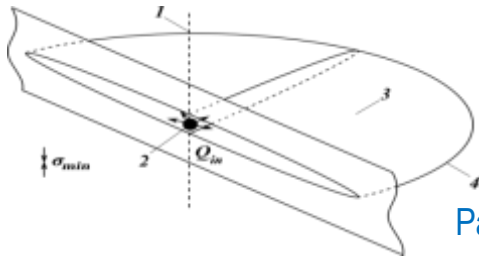
KGD  
Христианович (1956)  
Geertsma, de Klerk (1969)

$L \gg H$



PKN  
Perkins, Kern (1961),  
Nordgren (1972)

$L = H$



Радиальная Abe et al (1976)

# Иерархия моделей

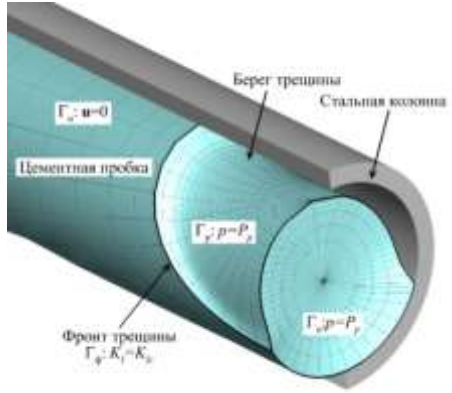


Трехмерная

*Поверхность трещины задана*

Трещина на границе материалов

*Поверхность трещины – плоскость*



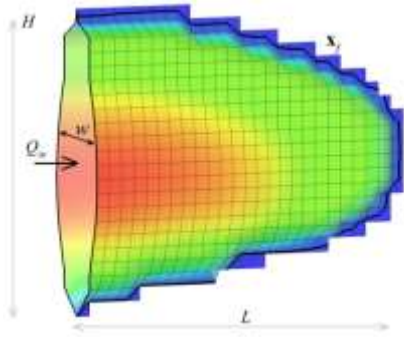
Плоская трехмерная

*Все направления равнозначны*

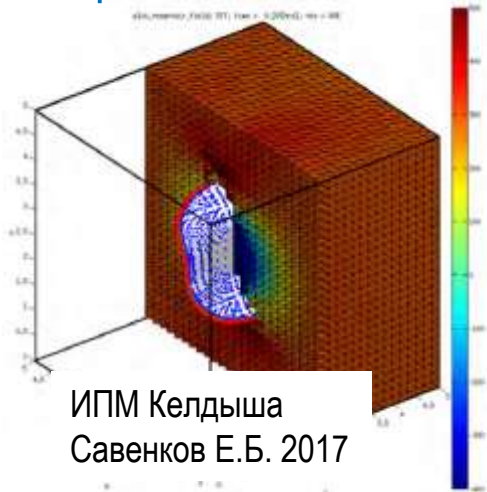
Радиальная

*Длина много больше высоты*

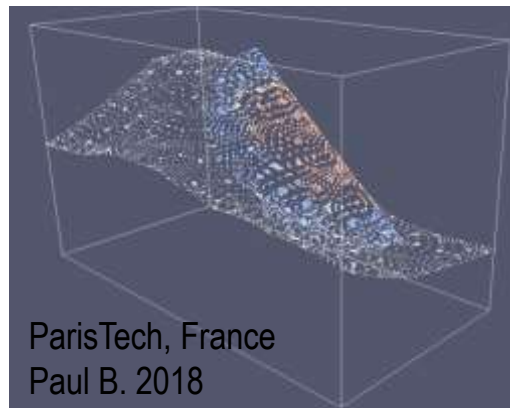
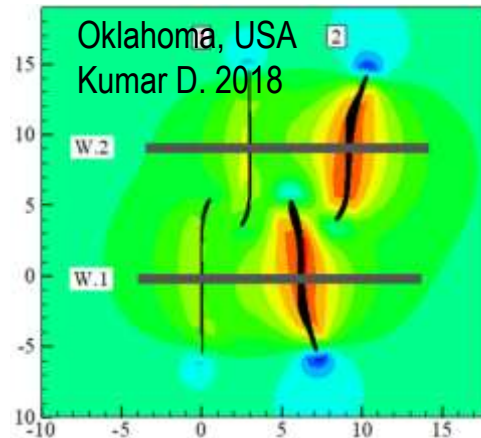
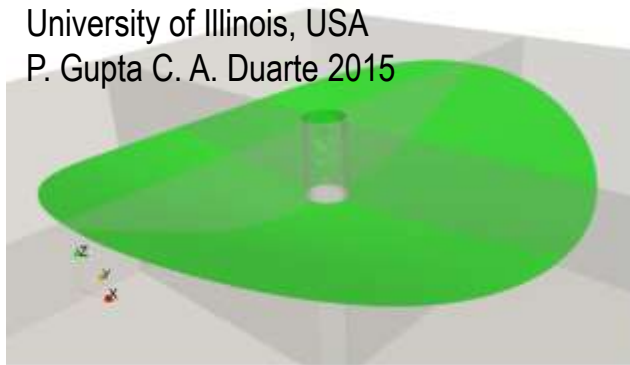
Трещины РКН-типа



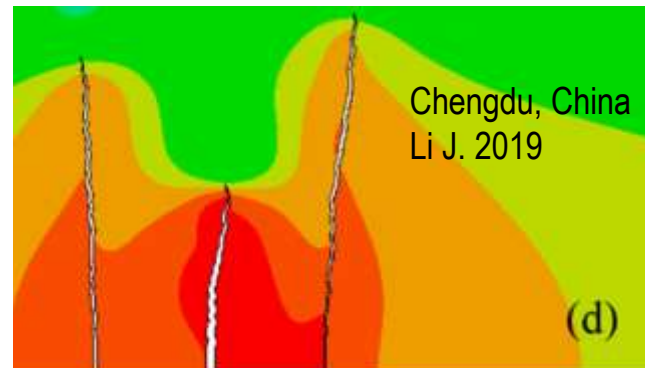
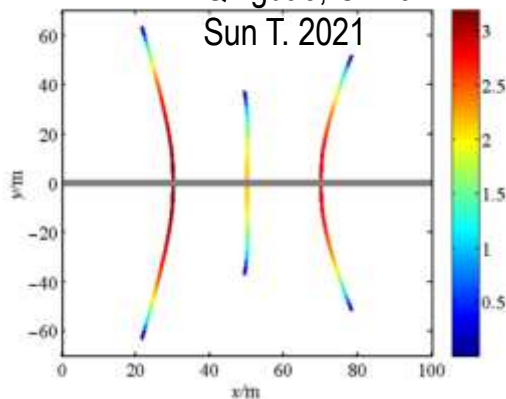
# Современные полностью трехмерные модели трещин гидроразрыва пласта



University of Illinois, USA  
P. Gupta C. A. Duarte 2015



Qingdao, China  
Sun T. 2021



# Результаты, выносимые на защиту

## Пункт 1: Разработка новых математических методов моделирования...

**Трехмерная модель** распространения неплоской трещины, **одновременно** описывающая

- 1) движение жидкости **сложной** реологии в узком двумерном канале (трещине),
- 2) распространение на основе **неявного глобального** критерия выбора направления,
- 3) деформацию породы в окрестности скважины и трещины

## Пункт 3: Разработка эффективных вычислительных методов...

Методы одновременного решения связанных систем **нелинейных** уравнений модели в

- 1) задаче «гидродинамика-упругость», 2) уравнениях движения жидкости сложной реологии, 3) неявном критерии распространения трещины.

## Пункт 4: Реализация ... в виде комплексов проблемно-ориентированных программ

Программный комплекс для решения задачи **распространения трещины**, нагруженной давлением вязкой жидкости, от полости в упругой среде, по границе между материалами, в теле конечных размеров

## Пункт 5: Комплексные исследования научных и технических проблем...

- 1) Решена задача криволинейного распространения трещины от полости – установлен **эффект пережатия** трещины.

Показаны вызывающие его **факторы**, **влияние** на трещину, **применимые модели**

- 2) Влияние параметров **гидроизоляции скважин** на ее стойкость
- 3) Влияние параметров трещиновато-пористой среды на **потери бурового раствора**

## Научная новизна

- Полностью трехмерная модель с одновременным описанием скважины, трещины и движения жидкости;
- Модель движения жидкости сложной реологии в канале переменного сечения в составе 3D модели;
- Глобальный неявный критерий распространения трещины, в котором выбор направления производится на основе анализа НДС в окрестности всего фронта после его продвижения;
- Описание эффекта пережатия трещины у скважины и установление влияющих на него факторов.

## Прикладная значимость

- Описание начального этапа распространения трещины и оценка влияния искривления трещины на весь процесс ГРП
- Выявление области применимости моделей для описания движения жидкостей сложной реологии

## Цель работы

- Разработка иерархии численных моделей распространения трещин в упругой хрупкой среде под действием закачиваемой жидкости и исследование особенностей эволюции таких трещин на основе построенных моделей

## Научная проблема

- Создание инструментов (модель, алгоритм, программный комплекс) моделирования распространения существенно криволинейных трехмерных трещин, при закачке в них вязкой жидкости

# Публикации по теме диссертации

## в изданиях, рекомендованных ВАК

1. Lapin V.N., Esipov D.V.. Simulation of proppant transport and fracture plugging in the framework of a radial hydraulic fracturing model // Russian Journal of Numerical Analysis and Mathematical Modelling. – 2020. – Vol. 35, No 6. – P. 325-339 (Scopus)
2. Лапин В.Н. Модель распространения трещины вдоль гидроизоляции скважины // Вестник НГУ. Серия: Инф. тех. – 2020. – Т.18. № 1. – С.36-49.
3. Лапин В.Н., Фомина А.А. Валидация неявного критерия выбора направления распространения трещины при смешанной нагрузке // Сибирский журнал индустриальной математики. – 2019. – Т. 22 №4. – С. 33-43. (Scopus)
4. Лапин В.Н. Модель потерь бурового раствора в систему трещин в задаче определения параметров трещиновато-пористой среды // Выч. технологии. – 2019. – Т. 24 №4. – С. 38-55
5. Cherny S., Lapin V., Kuranakov D., Alekseenko O. 3D model of transversal fracture propagation from a cavity caused by Herschel-Bulkley fluid injection // Int. J. of Frac. – 2018. – Vol. 212, No. 1. – P. 15-40. (Wos , Scopus)
6. Карнаков П.В., Куранаков Д.С., Лапин В.Н., Черный С.Г., Есипов Д.В. Особенности распространения трещины гидроразрыва породы при закачке в нее смеси проппанта и жидкости // Теплофизика и аэромеханика. – 2018. – Т. 25, № 3. – С. 611-628.
7. Cherny S., Lapin V., Esipov D., Kuranakov D., Avdyushenko A., Lyutov A., Karnakov P. Simulating fully 3D non-planar evolution of hydraulic fractures // Int. J. of Frac. – Vol. 201., No 2 – P. 181-211. (Wos , Scopus)
8. Kuranakov D.S., Esipov D.V., Lapin V.N., Cherny S.G. Modification of the boundary element method for computation of three dimensional fields of strain-stress state of cavities with cracks // Eng. Fract. Mech. – 2016. – Vol. 153. – P. 302-318. (Wos , Scopus)
9. Есипов Д.В., Куранаков Д.С., Лапин В.Н., Черный С.Г. Математические модели гидроразрыва пласта // Выч. технологии. – 2014. – Т. 19 №2. – С. 33-61
10. Карнаков П.В., Лапин В.Н., Черный С.Г. Модель гидроразрыва пласта, включающая механизм закупоривания трещины пропантом // Вестник НГУ. Серия: Инф. тех. – 2014. – Т. 12, № 1. – С. 19–33.
11. Cherny S., Chirkov D., Lapin V., etc. Two dimensional modeling of the near-wellbore fracture tortuosity effect // Int. J. Rock Mech. & Min. Sci. – 2009. – Vol. 46, No. 6. – P. 992-1000. (WoS , Scopus)

## Свидетельство на программу для электронных вычислительных машин

12. Черный С.Г., Лапин В.Н., Есипов Д.В., Куранаков Д.С. Программа трехмерного моделирования распространения трещины в хрупком материале под действием давления вязкой жидкости «CADFRAC/2019».

## Рецензируемые публикации в периодических научных изданиях, индексируемых в WoS и Scopus

13. Lapin V.N., Cherny S.G. An implicit criterion of fracture growth direction for 3D simulation of hydraulic fracture propagation // Procedia Structural Integrity. – 2018. – Vol. 13. – P. 1171-1176., (WoS, Scopus)

14. Cherny S.G., Lapin V.N. 3D model of hydraulic fracture with Herschel-Bulkley compressible fluid pumping // Procedia Structural Integrity. – 2016. – Vol. 2. – P.2479-2486. (WoS)

15. Shokin Yu., Cherny S., Esipov D., Lapin V., Lyutov A., Kuranakov D. Three-dimensional model of fracture propagation from the cavity caused by quasi-static load or viscous fluid pumping // Comm. In Comp. & Inf. Sci.. 2015. vol 549. – P. 143-157. (Scopus)

## Монография

17. Черный С.Г., Лапин В.Н., Есипов Д.В., Куранаков Д.С. Методы моделирования зарождения и распространения трещин. Новосибирск: Изд-во СО РАН, 2016. 312с.

## Основные материалы конференций

1. Cherny S.G., Lapin V.N., Chirkov D.V., Alekseenko O.P., Medvedev O.O. 2D modeling of hydraulic fracture initiating at a wellbore with or without microannulus // SPE Hydraulic Fracturing Technology Conference. --- The Woodlands, Texas, 2009. – SPE-119352-MS. (Scopus)

2. Лапин В.Н., Черный С.Г., Есипов Д.В., Куранаков Д.С. Моделирование трехмерного неплоского распространения трещин гидроразрыва под действием закачки неньютоновской жидкости // Материалы межд. конф. Моделирование геологического строения и процессов разработки – основа успешного освоения нефтегазовых месторождений, 4-5 сентября 2018 года, Казань. – 2018. с. 235—238.

3. Черный С.Г., Есипов Д.В., Лапин В.Н., Куранаков Д.С. Проблемы моделирования гидравлического разрыва пласта в двумерной и трехмерной постановках // Материалы IX междунар. Конф. По неравновесным процессам в соплах и струях (NPNJ'2012). Алушта: Изд. МАИ, - 2012. - С. 441-443.

# Содержание

## Глава 1. Задача моделирования распространения трещины и подходы к ее решению

- 1.1. Физические процессы, определяющие развитие трещин
- 1.2. Концепция трехмерной модели распространения трещины гидроразрыва пласта
- 1.3. Модель деформации среды в задаче распространения трещин
- 1.4. Метод совместного решения уравнений трещины гидроразрыва

## Глава 2. Неявный критерий распространения трещины

- 2.1. Обзор критериев распространения трещин в хрупком упругом материале
- 2.2. Неявные критерии выбора направления и длины приращения трещины
- 2.3. Валидация и верификация неявного критерия и выбор весового параметра
- 2.4. Применение глобального неявного критерия для описания распространения трещин

## Глава 3. Модели для описания движения жидкости в трещине

- 3.1. Общая модель сжимаемой неньютоновской жидкости Гершеля–Балкли
- 3.2. Численный метод решения уравнений движения жидкости
- 3.3. Верификация алгоритма решения уравнений движения жидкости
- 3.4. Безразмерный анализ задачи о распространении трещин ГРП

## Глава 4. Моделирование распространения трещин при закачке вязкой жидкости

- 4.1. Верификация трехмерной модели
- 4.2. Моделирование распространения поперечной трещины в трехмерной постановке
- 4.3. Распространение трещины, вызванного закачкой слабосжимаемой жидкости
- 4.4. Влияние основных параметров на распространение двух параллельных трещин
- 4.5. Распространение продольной трещины

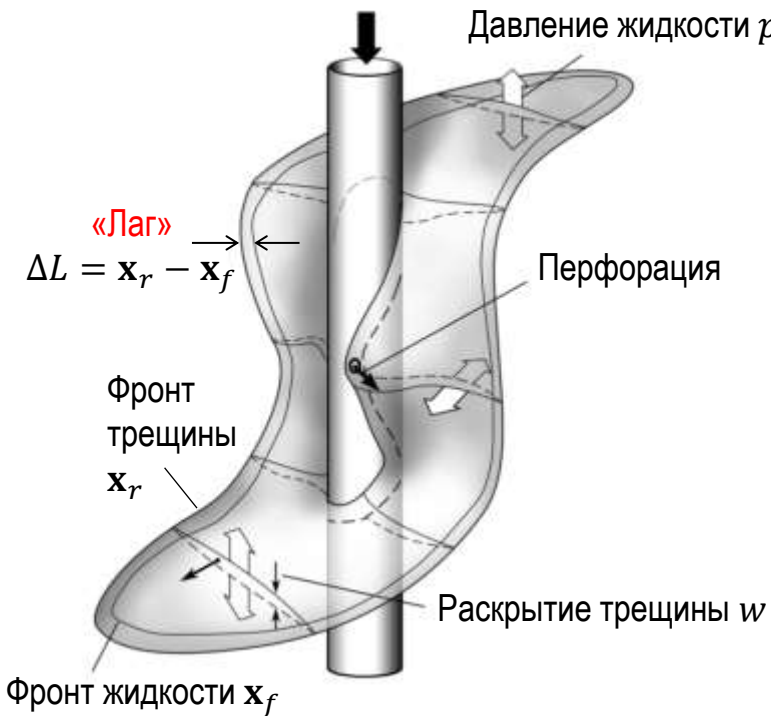
## Глава 5. Иерархия моделей распространения трещины при закачке в нее вязкой жидкости

- 5.1. Модель трещины, распространяющейся по границе материалов
- 5.2. Плоскорадиальная модель трещины... с пропантом
- 5.3. Определение параметров трещиноватой среды по утечкам бурового раствора
- 5.4. Модель длинной трещины, включающая механизм оседания пропанта
- 5.5. Одномерная модель длинной трещины, включающая механизм закупоривания

## Заключение

# Глава 1. Задача моделирования распространения трещины и подходы к ее решению

# Трёхмерная модель начального этапа распространения трещины \*



## Основные процессы

Процесс	Модель, уравнения
Деформация породы	Линейная упругость, 3D $w = w(p, \mathbf{x}_r)$
Разрушение породы	Критерии разрушения $\mathbb{K}(w, \mathbf{x}_r) = 0$
Движение жидкости	Уравнения смазки $p = p(w, \mathbf{x}_f, \Delta t), \mathbf{x}_f = \mathbf{x}_f(w, \Delta t)$
Фильтрация в породе	Фильтрация многофазной жидкости
Перенос проппанта	Перенос концентрации
Хим. процессы	Уравнения реакций

## Особенности задачи

- Нелинейная связь между процессами
- Наличие свободной границы

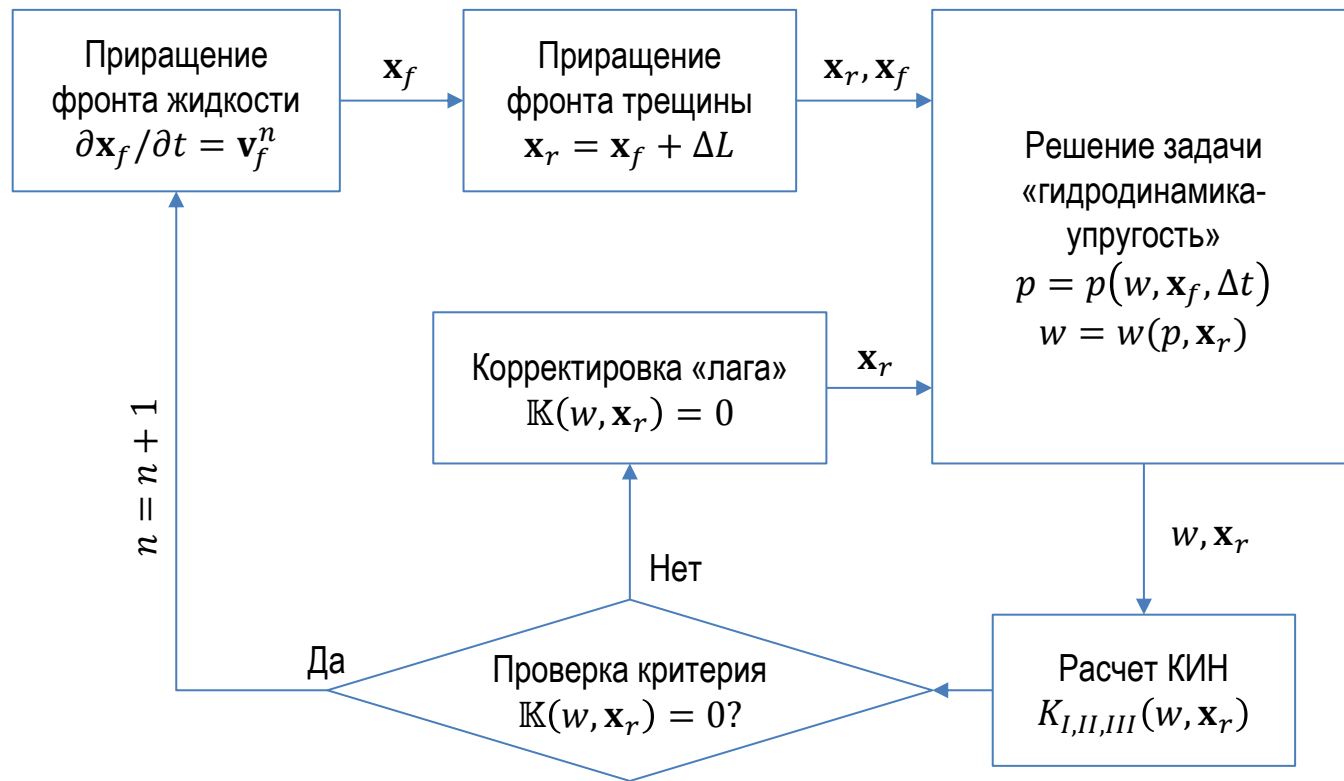
На каждом шаге распространения определяются

Раскрытие  $w$ , давление  $p$

Положения фронтов трещины  $\mathbf{x}_r$  и жидкости  $\mathbf{x}_f$

\* Черный С.Г., Лапин В.Н., Есипов Д.В., Куранаков Д.С. Методы моделирования зарождения и распространения трещин ИВТ СО РАН, 2016

## Метод совместного решения уравнений модели – общая схема



### Основные соотношения

Упругость

$$w = w(p, \mathbf{x}_r)$$

Разрушение

$$K(w, \mathbf{x}_r) = 0$$

Гидродинамика

$$p = p(w, \mathbf{x}_f)$$

$$\mathbf{x}_f = \mathbf{x}_f(w)$$

### Основные переменные

Раскрытие  $w$

Давление  $p$

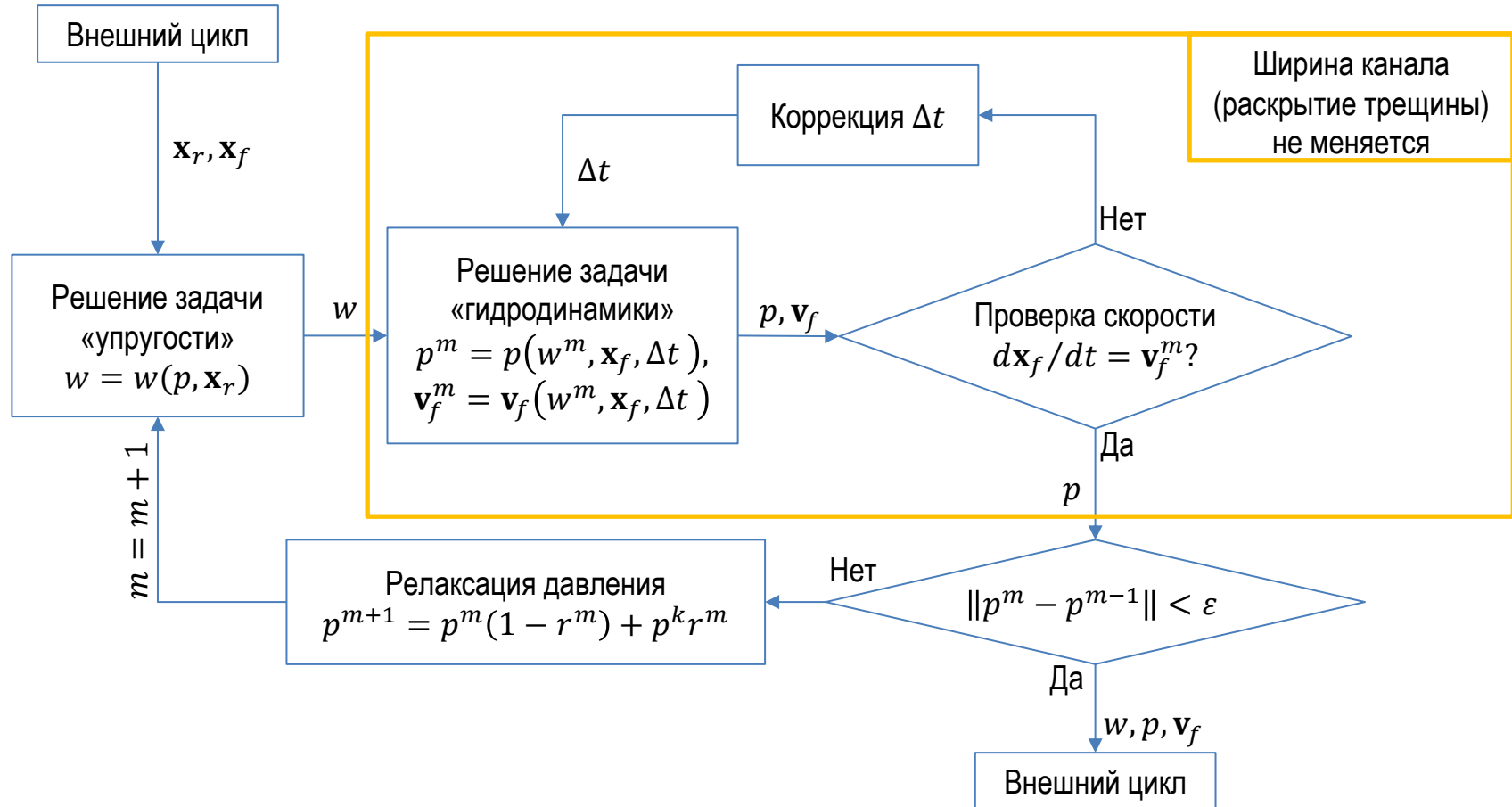
Положения фронтов

трещины  $\mathbf{x}_r$

и жидкости  $\mathbf{x}_f$

Как найти решение, удовлетворяющее всем соотношениям?

# Решение задачи «гидродинамика-упругость»



# Описание деформации материала

## Постановка задачи

Уравнения равновесия

$$\frac{\partial \sigma_{ij}}{\partial x_j} = 0$$

Закон Гука

$$\sigma_{ij} = \lambda \delta_{ij} \varepsilon_{kk} + 2\mu \varepsilon_{ij}$$

Определение тензора деформаций

$$\varepsilon_{ij} = \frac{1}{2} \left( \frac{\partial u_i}{\partial x_j} + \frac{\partial u_j}{\partial x_i} \right)$$

Граничные условия для напряжений

$$S: \sigma_{ij} n_j = t_i = -p(\mathbf{x}) n_i - \sigma_{ij}^{\infty} n_j$$

Условие на бесконечности

$$x \rightarrow \infty: u_j \rightarrow 0$$

$\varepsilon_{ij}$  – тензор деформаций

$\sigma_{ij}$  – тензор напряжений

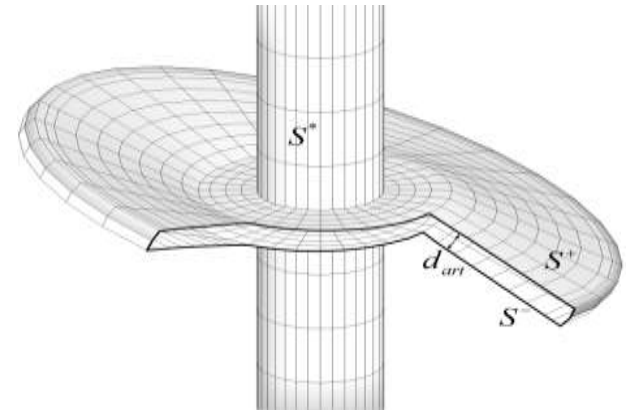
$u_i$  – смещения

$n_i$  – внешняя нормаль

$\sigma_{ij}^{\infty}$  – напряжения в естественном залегании

$p(\mathbf{x})$  – давление в полости, трещине

Расчетная область с искусственным  
разрезом (для классического МГЭ)



## Метод граничных элементов

Интегральное уравнение для точки границы  $x^* \in S^*$

$$-0.5u_i(x^*) = \int_{S^*} U_{ij}(x^*, x)t_j(x)dS(x) - \int_{S^*} T_{ij}(x^*, x)u_j(x)dS(x) - \int_{S^-} T_{ij}(x^*, x)\Delta u_j(x)dS(x)$$

Интегральное уравнение для точки берега трещины  $x^- \in S^-$

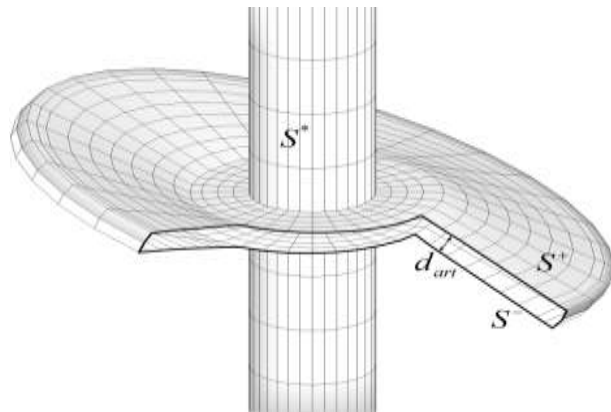
$$t_j(x^-) = \int_{S^*} L_{kj}(x^-, x)t_k(x)dS(x) - \int_{S^*} M_{kj}(x^-, x)u_k(x)dS(x) - \int_{S^-} M_{kj}(x^-, x)\Delta u_k(x)dS(x)$$

$t_j = \sigma_{ij}n_i$  – усилия,  $u_j$  – смещения  
 $\Delta u_j = u_j(x^+) - u_j(x^-)$  – разрыв смещений

Расчетная область с искусственным разрезом (для классического МГЭ)

### Этапы метода

- 1) Разбиение границы области  $S^* \cup S^\pm$  на элементы
- 2) Выражение координат и неизвестных функций через базисные функции  $u(\xi) = \sum u^m \varphi_m(\xi)$
- 3) Формирование СЛАУ для коэффициентов разложения  $u^m$
- 4) Решение СЛАУ: LU разложение, GMRES



## Выводы по главе 1

- Сформулирована задача описания распространения трещины, вызванной закачкой вязкой жидкости
- Обозначены основные процессы, влияющие на распространение трещины, которые необходимо описывать при моделировании распространения
- Приведен краткий обзор классических моделей трещин гидроразрыва пласта, как наиболее характерного примера рассматриваемых трещин
- Сформулирована концепция трехмерной модели трещины, описывающая движение жидкости в трещине, деформацию и разрушение материала
- Описан метод граничных элементов, используемый для решения уравнений упругого равновесия, предназначенных для расчета деформации материала
- Представлен алгоритм совместного решения уравнений упругого равновесия и движения жидкости и уравнений критерия распространения трещины

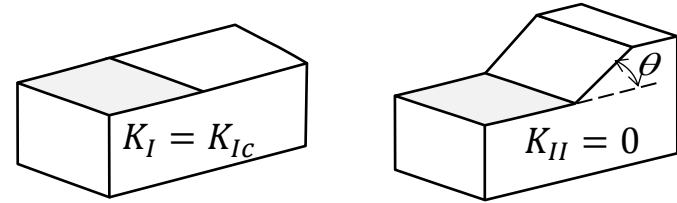
## Глава 2. Неявный интегральный критерий распространения трещины

# Классификация критериев распространения

## Плоские и трехмерные

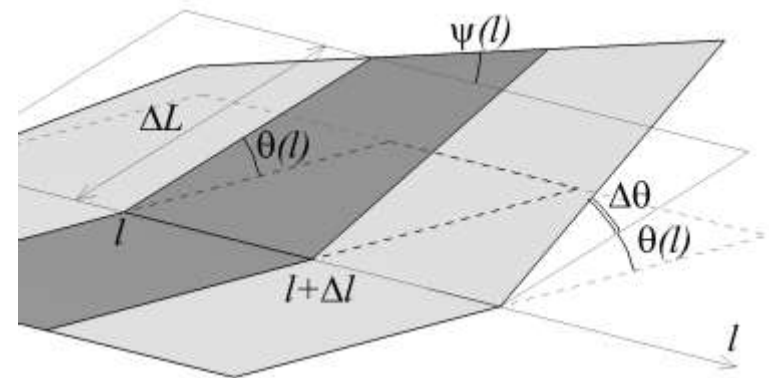
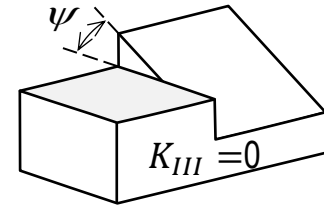
### Плоские

- Две моды нагружения
- Два параметра определяют приращение
- Точки фронта независимы



### Трехмерные

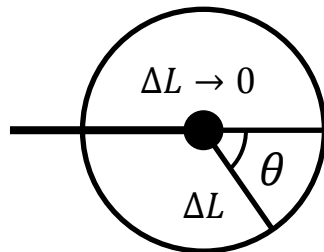
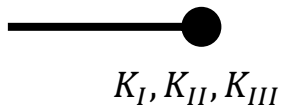
- Три моды нагружения
- Три параметра определяют приращение
- Изменение положения одной точки фронта меняет значения КИН в ее окрестности



$\theta$  – угол поворота  
 $\psi$  – угол кручения

# Явные и неявные

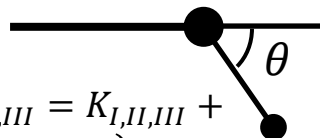
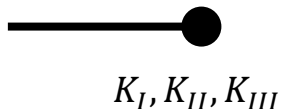
## Классические критерии



$$\max_{\theta} \sigma_{\theta}(\theta, K_I, K_{II}, K_{III})$$

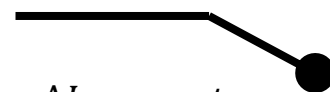


## Неявные аналитические критерии\*



$$\hat{K}_{I,II,III} = K_{I,II,III} + \mathbf{F}(K_{I,II,III}, \theta) \Delta L + \dots$$

$$\max_{\theta} K_I(\theta, \Delta L)$$



$$\Delta L = const$$

## Неявный интегральный критерий



$$\max_i K_I^i$$



- Численный расчет НДС после распространения
- Конечное приращение трещины
- Перебор вариантов

# Неявный критерий распространения трещины

Принцип локальной симметрии\*: Трещина распространяется в направлении

$$K_{II}(\theta(l)) = 0, \quad K_{III}(\psi(l)) = 0$$

$$\psi(l) = \Delta L(l) \frac{\partial \theta}{\partial l}(\theta(l)) \Rightarrow K_{III}(\psi(l)) = \tilde{K}_{III}(\theta(l))$$

↓

$$K_{II}(\theta(l)) = 0, \quad \tilde{K}_{III}(\theta(l)) = 0$$

Углы поворота  $\theta$  и кручения  $\psi$  зависят  
В точке фронта: 2 условия, один параметр  
Решение – только приближенное

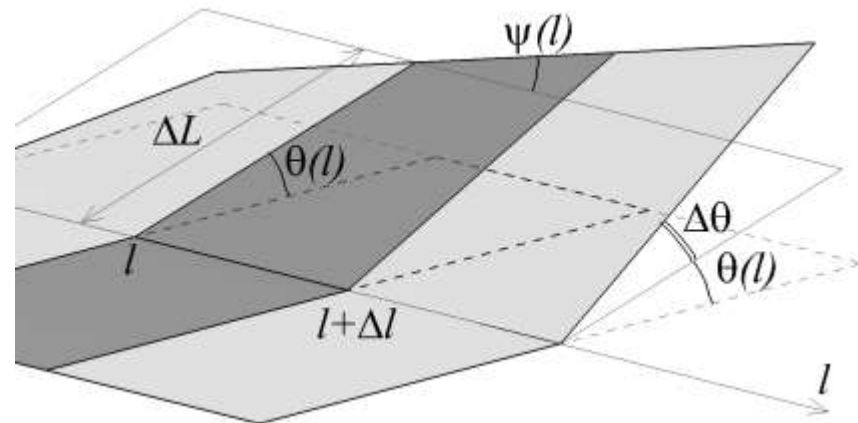
Интегральная формулировка критерия:

Найти распределение угла поворота  $\theta^*(l)$ , при котором

$$F(\theta^*(l)) = \min_{\theta(l)} F(\theta(l))$$

$$F(\theta(l)) = \int_{front} (1 - \beta) K_{II}^2(\theta(l)) + \beta \tilde{K}_{III}^2(\theta(l)) dl$$

$\theta$  – угол поворота  
 $\psi$  – угол кручения



\* Goldstein R.V., Salganik R.L. Brittle fracture of solids with arbitrary cracks Int. J. Fract. 1974

## Итерационный метод решения\*

Изменение углов на итерации

$$\Delta^s \theta_j = \theta_j^{s+1} - \theta_j^s$$

$$\Delta^s \psi_j \approx \Delta L_j \frac{\Delta^s \theta_{j+1} - \Delta^s \theta_{j-1}}{l_{j+1} - l_{j-1}}$$

Изменение КИН

$$K_{II}(\theta_j^{s+1}) \approx K_{II}(\theta_j^s) + \frac{1}{\chi_{II}} \Delta^s \theta_j$$

$$K_{III}(\psi_j^{s+1}) \approx K_{II}(\theta_j^s) + \frac{1}{\chi_{III}} \Delta^s \psi_j$$

Изменение функционала

$$F^{s+1} \approx \sum_{j \in \text{front}} (1 - \beta) \left( K_{IIj}^2 + \frac{1}{\chi_{II}} \Delta^s \theta_j \right)^2 + \beta \left( \tilde{K}_{IIIj}^2 + \frac{\Delta L_j}{\chi_{III}} \frac{\Delta^s \theta_{j+1} - \Delta^s \theta_{j-1}}{l_{j+1} - l_{j-1}} \right)^2$$

$\chi_{II}$ ,  $\chi_{III}$  – параметры алгоритма

На каждой итерации решается СЛАУ

$$\frac{\partial F^{s+1}}{\partial \theta_j^{s+1}} = 0, \quad j \in \text{front}$$

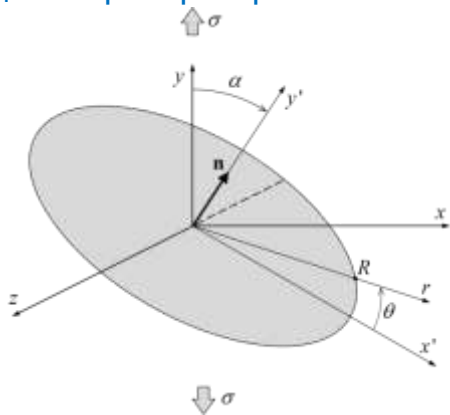
При сходимости ( $\Delta^s \theta_j = \Delta^s \psi_j \approx 0$ ) выполнено

$$\frac{\partial F}{\partial \theta_j} = 0$$

\* Cherny S., Lapin V., ... Simulating fully 3D non-planar evolution of hydraulic fractures // Int J Fract, 2016

# Проблема весового параметра

## Задача о распространении наклонной трещины

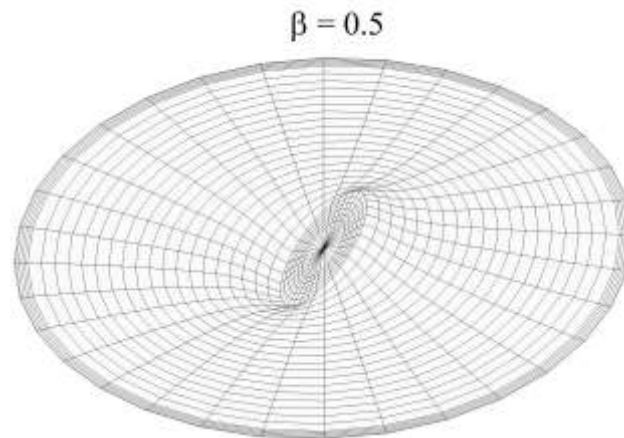


$$\sigma_x^\infty = 16 \text{ MPa}$$

$$\sigma_y^\infty = 10 \text{ MPa}$$

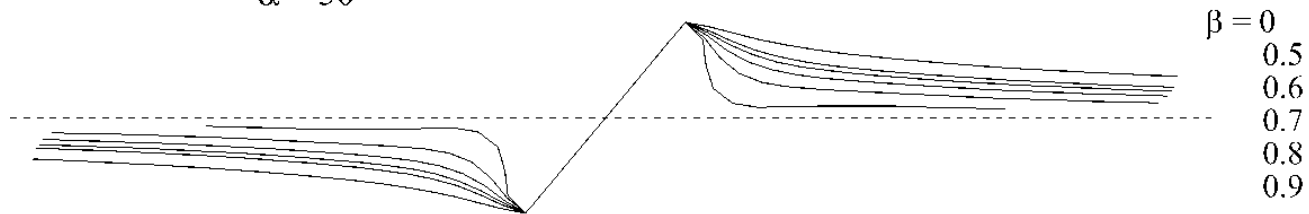
$$\sigma_z^\infty = 16 \text{ MPa}$$

$$K_I = 1 \text{ MPa}\sqrt{m}$$



## Траектории для различных значений весового параметра $\beta$

$\alpha = 50^\circ$



## Валидация неявного критерия\*

Трещина распространяется в направлении:

2D MTS: Erdogan & Sih 1963

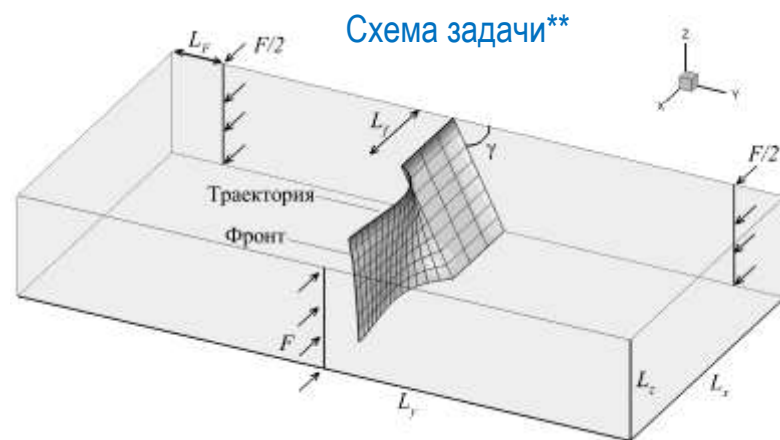
где с максимальны *окружные* растягивающие напряжения

3D MTS: Schollmann et al. 2002

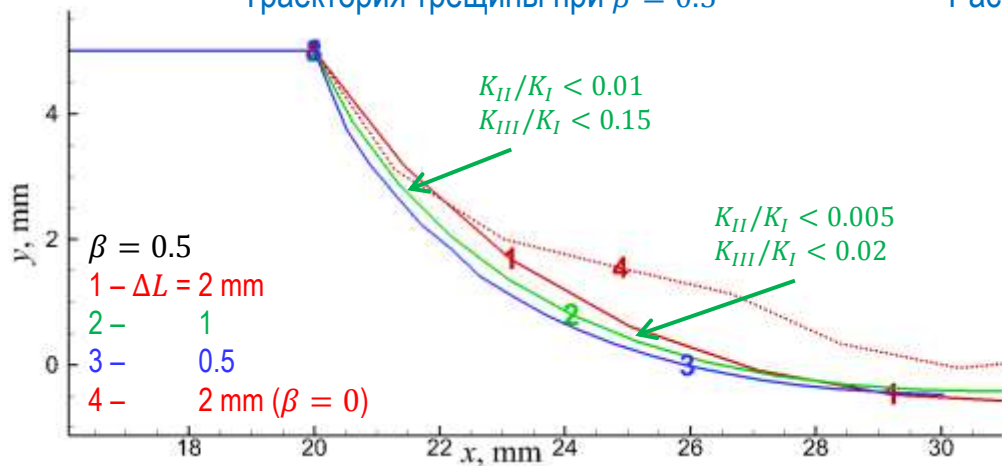
где с максимальны *главные* растягивающие напряжения

MGV Lazarus et al. 2008

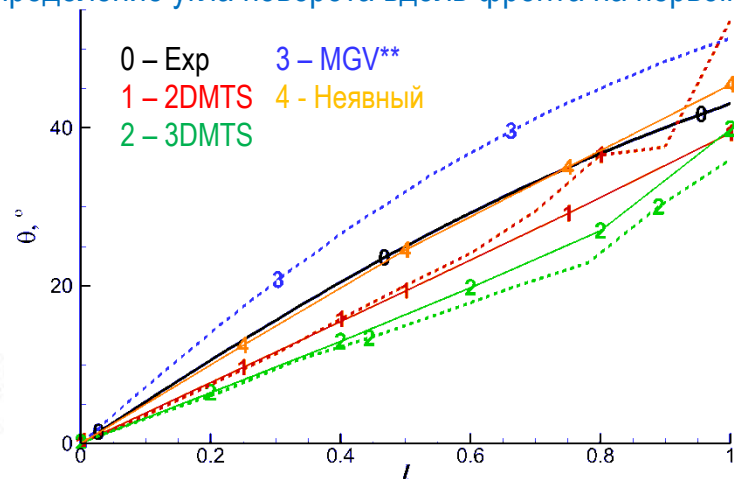
в котором *средняя по фронту* скорость высвобождения полной энергии максимальна при продвижении на *конечное расстояние*



Траектория трещины при  $\beta = 0.5$



Распределение угла поворота вдоль фронта на первом шаге

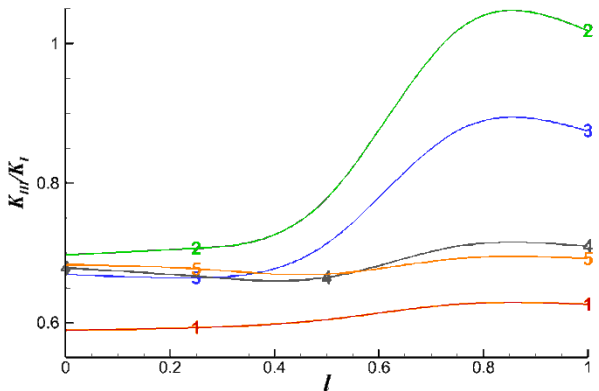
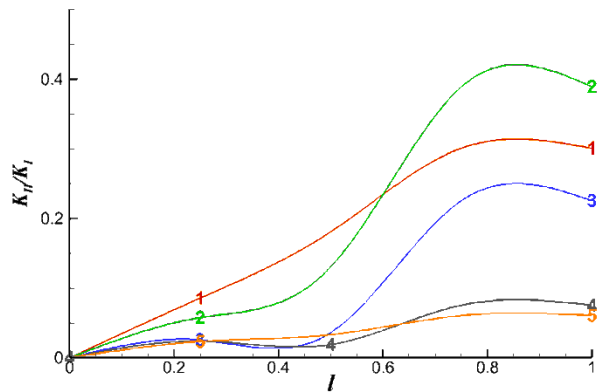


\* Лапин В.Н., Фомина А.А. Сиб. Ж. Индустр-ой Мат-ки, 2019.

\*\* Lazarus et al., 2008. Int. J. Fract

# Сколько нужно итераций для поиска фронта?

## Распределение КИН вдоль фронта



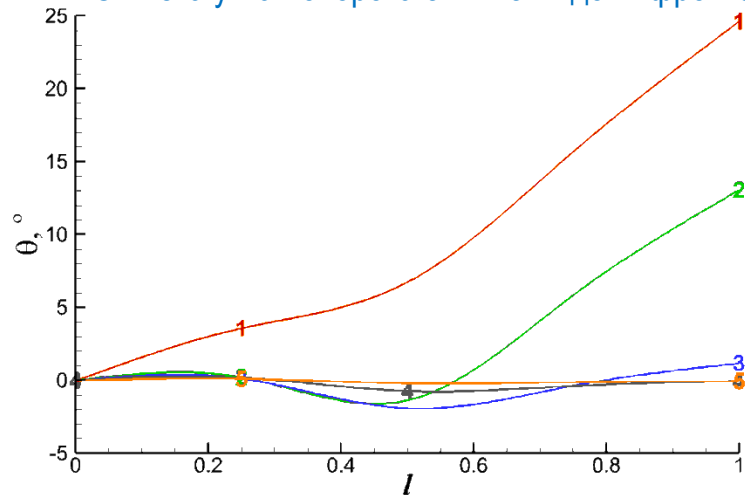
- При изломе траектории принцип локальной симметрии не удовлетворяется  $K_{II} \neq 0, K_{III} \neq 0$

- Критерий остановки

$$\Delta\theta < \varepsilon = 10^{-3}, \quad \Delta\theta = \max_{x_f} |\theta^s - \theta^{s-1}|$$

- После 5 итераций  $\Delta\theta$  вариация угла поворота меньше 0.2%
- 5 итераций почти всегда достаточно, 15 итераций всегда достаточно

## Ошибка угла поворота $\theta^s - \theta^*$ вдоль фронта



## Выводы по главе 2

- Предложен неявный интегральный критерий выбора направления приращения трещины, позволяющий описывать распространение трещины при сложном смешанном нагружении со значительным влиянием третьей моды КИН  $K_{III}$
- Проведена верификация и валидация критерия путем сравнения с результатами экспериментов, предсказаниями существующих критериев и расчетами других авторов
- Показано, что неявный глобальный критерий позволяет предсказать распределение угла поворота трещины вдоль фронта лучше, чем существующие явные и неявные критерии

### Ключевые особенности:

- **Неявность** – минимизируемая функция рассчитывается по параметрам, характеризующим НДС материала после продвижения трещины, что не требует дополнительных предположений об НДС
- **Глобальность** – функция включает в себя параметры НДС во всех точках фронта, что позволяет учитывать влияние точек фронта друг на друга
- **Конечность приращения** – при формулировке критерия не используется предположение о бесконечной малости приращения трещины, которое не выполняется при резком изменении направления распространения

## Глава 3. Модель движения жидкости в трещине

# Уравнения движения жидкости в трещине - Ньютоновская жидкость

Уравнения импульса

$$\mathbf{q} = -\frac{w^3}{12\mu} \nabla p$$

и неразрывности

$$\frac{\partial w}{\partial t} + \nabla \cdot \mathbf{q} = 0$$

дают уравнение Рейнольдса для давления

$$\nabla(a \nabla p) = f, \quad a = \frac{12\mu}{w^3}, \quad f = \frac{\partial w}{\partial t}$$

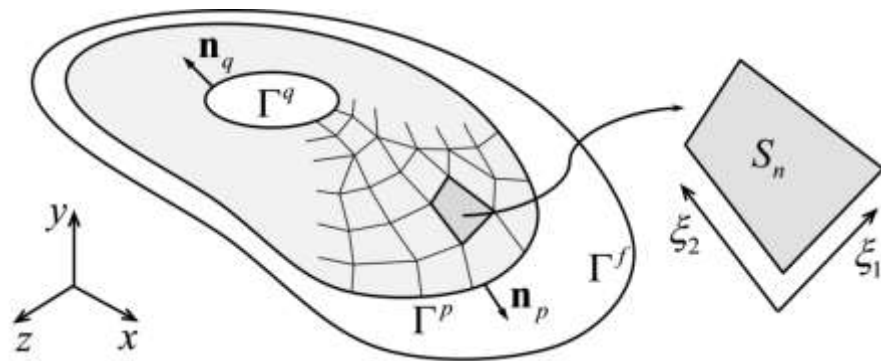
Граничные условия

Фронт жидкости ( $\mathbf{x}_f$ ):

$$p|_{\Gamma^p} = p_{pore}$$

Скважина

$$\mathbf{q}|_{\Gamma^q} = q_{in} \mathbf{n}_q$$



# Численный метод для случая ньютоновской жидкости

уравнение Рейнольдса для давления

$$\nabla(a\nabla p) = f, \quad a = \frac{12\mu}{w^3}, \quad f = \frac{\partial w}{\partial t}$$

Слабая формулировка

$$\int_{\partial S_n} \frac{\partial p}{\partial n} \omega dG - \int_{S_n} (a\nabla p) \nabla \omega dS = \int_{S_n} f \omega dS$$

## Этапы метода конечных элементов

1) Разбиение границы области  $S^* \cup S^\pm$  на элементы

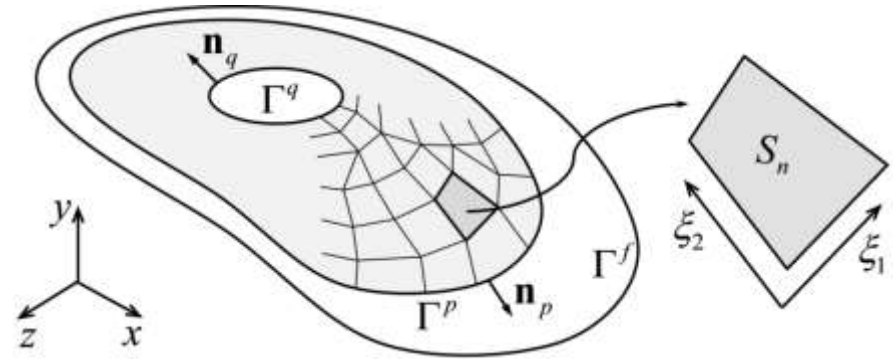
2) Выражение координат и неизвестных функций через базисные функции  $p(\xi) = \sum p^m \varphi_m(\xi)$

3) Формирование СЛАУ для коэффициентов разложения  $p^m$

$$K_{ij} p^i = Q_j + F_j$$

$$K_{ij} = \int_{S_n} a \nabla \varphi_i \cdot \nabla \varphi_j |J| d\xi_1 d\xi_2, \quad Q_i = \int_{\partial S_n} a \frac{\partial p}{\partial n} \varphi_i dG, \quad F_j = - \int_{S_n} f \varphi_j |J| d\xi_1 d\xi_2$$

4) Решение СЛАУ: LU разложение, GMRES



## Особенности аппроксимации

Расчетные области для задачи упругости и гидродинамики почти совпадают

В методах конечных и граничных элементов используются одинаковые элементы и базисные функции

=> Нет погрешности интерполяции при передаче значений между задачами

# Неньютоновская жидкость

Замыкание модели жидкости

Ньютоновская

$$\mathbb{P} = -p\mathbb{E} + \mathbb{T},$$

$$\mu = const$$

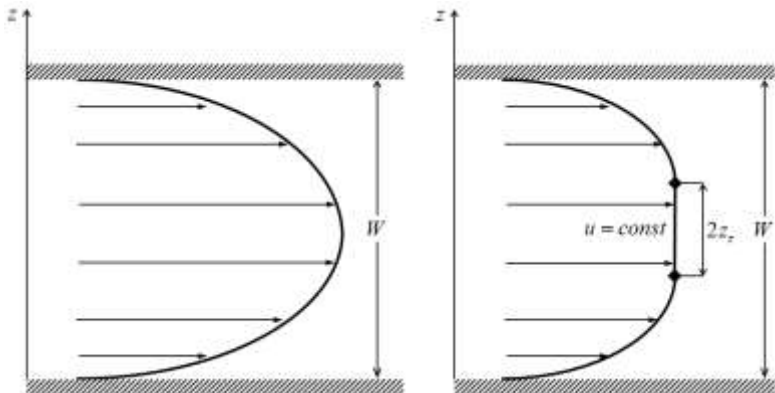
Неньютоновская\*

$$\mathbb{T} = \mu\mathbb{D}$$

$$\mu(D) = KD^{n-1} + \frac{\tau_0}{D}$$

$$D = \sqrt{0.5\mathbb{D}_{ij}\mathbb{D}_{ij}}$$

Профиль скорости в трещине



Уравнения импульса

$$\mathbf{q} = -\frac{w^3}{12\mu(p)}\nabla p$$

Эффективная вязкость

$$\mu(p) = \frac{(2K)^{1/n}(2n+1)}{6n}(w|\nabla p|)^{1-1/n} + \frac{2^{1/n}(4n+2)}{3n(w|\nabla p|)^{1/n}}\tau_0$$

уравнение Рейнольдса для давления

$$\nabla(a\nabla p) = f, \quad a = \frac{12\mu(p)}{w^3}, \quad f = \frac{\partial w}{\partial t}$$

Коэффициенты в СЛАУ зависят от решения

$$K_{ij}(p)p^i = Q_j + F_j$$

# Модификация численного метода для неньютоновской жидкости



## Выводы по главе 3

- Предложена и обоснована модель движения в трещине жидкости сложной реологии
- Поведена верификация численного алгоритма решения уравнений движения жидкости сложной реологии в узком канале путем сравнения с аналитическими решениями задач
- Проведена верификация численного алгоритма и процедуры его объединения с трехмерной моделью распространения трещины путем сравнения с одномерной радиальной моделью трещины (результаты приведены в следующей главе)
- Проведен безразмерный анализ режимов распространения трещины.  
На его основе продемонстрирована необходимость использования модели Гершеля-Балкли при описании жидкости сложной реологии и невозможность замены ее моделью Ньютоновской жидкости.
- Показано, что на этапе формирования траектории трещины (результаты приведены в следующей главе)
  - 1) можно не учитывать предельное напряжение сдвига  $\tau_0$ ,
  - 2) модель степенной жидкости  $n < 1$  можно заменить моделью Ньютоновской жидкости  $n = 1$  с эффективной вязкостью  $\mu_{app}$  без потери точности описания траектории

## Глава 4. Применение трехмерной модели распространения трещины

# Верификация путем сравнения с одномерными моделями

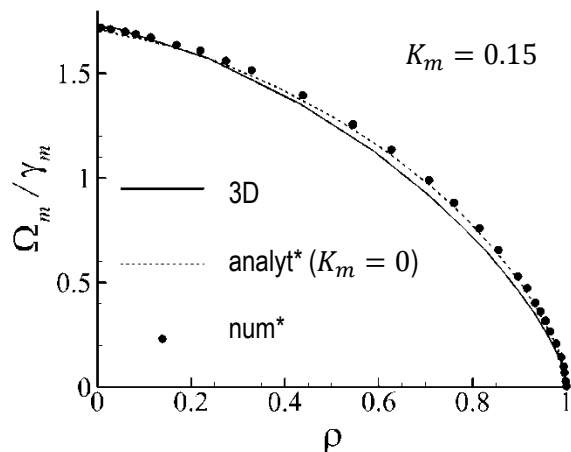
## Сравнение с моделью радиальной трещины (аналитическое решение)

Радиус  $\gamma_m = \frac{R(t)}{L(t)}, L(t) = \left( \frac{E Q_{in}^3 t^4}{12\mu} \right)^{1/9}$

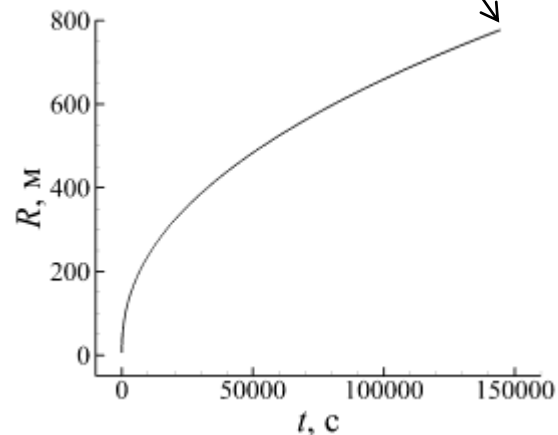
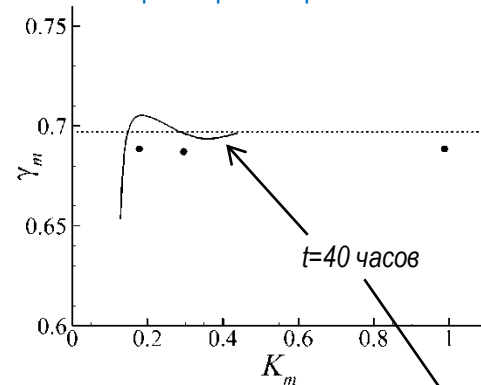
Время  $K_m = 4K_{Ic} \left( \frac{2}{\pi} \right)^{1/2} \left( \frac{t^2}{(12\mu)^5 Q_{in}^3 E^{-13}} \right)^{1/18}$

Раскрытие  $\Omega_m = \frac{w}{\varepsilon L}, \varepsilon = \left( \frac{12\mu}{E t} \right)^{1/3}$

## Распределение ширины трещины вдоль радиуса



## Зависимость безразмерного радиуса трещины от безразмерного времени

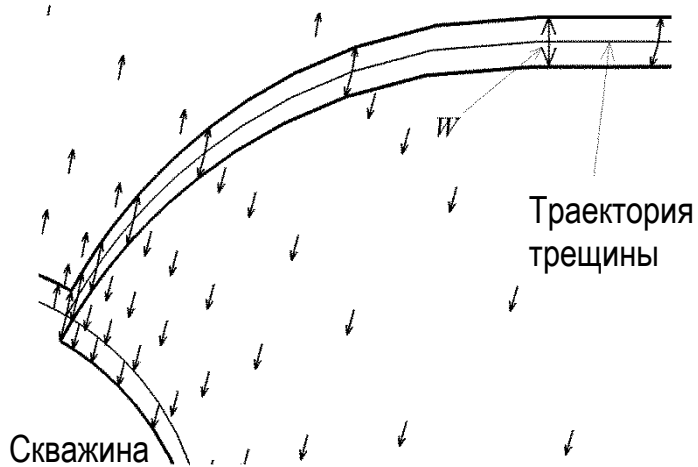


\* Savitski A.A., Detournay E. // Int. J. Solids and Struct. 2002.

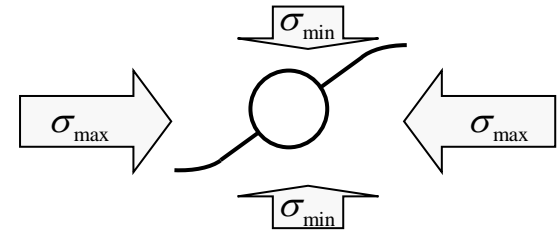
# Эффект пережатия трещины

2009\* показан эффект уменьшения ширины в двумерной постановке при заданной криволинейной траектории трещины  
2011\*\* ... роста давления в прискважинной области при описании искривления траектории  
2015\*\*\* ... в трехмерной постановке для поперечной трещины

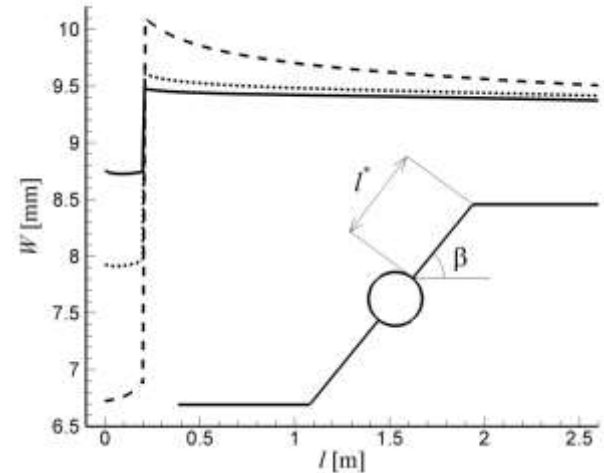
## Смещения породы при гладкой траектории



## Схема трещины с заданной траекторией



## Ширина трещины у скважины при изломе траектории



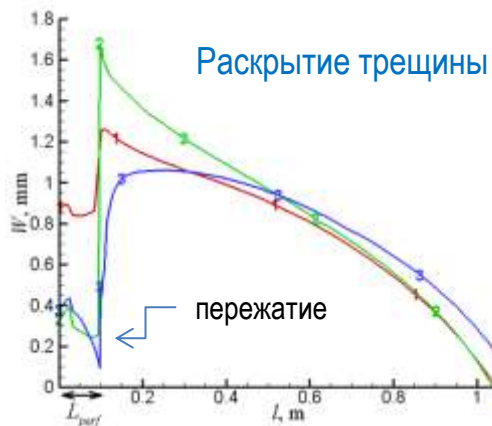
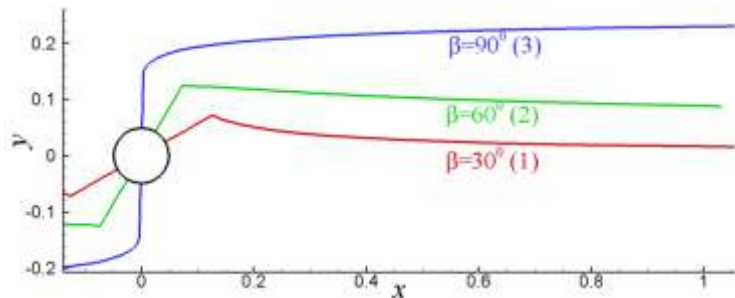
\*Cherny S., et al Int. J. Rock Mech. & Min. Sci. - 2009

\*\*Алексеев О.П. и др. // Вестник НГУ: Мат., мех., инф. - 2011.

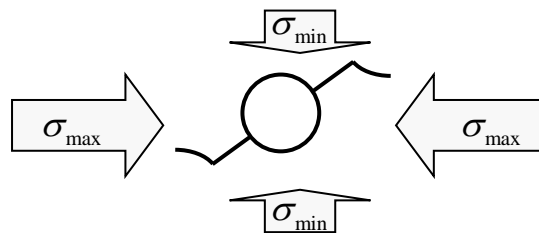
\*\*\*Shokin Yu., et al Comm. In Comp. & Inf. Sci.. 2015.

# Факторы, влияющие на пережатие трещины – продольная трещина

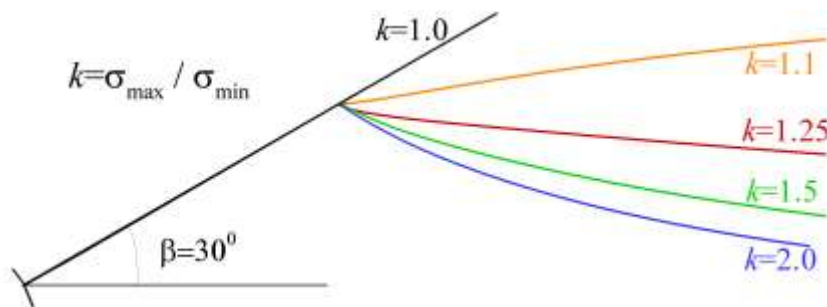
## Траектория при различных углах наклона



## Схема трещины с изломом траектории



## Траектория при различных соотношениях напряжений

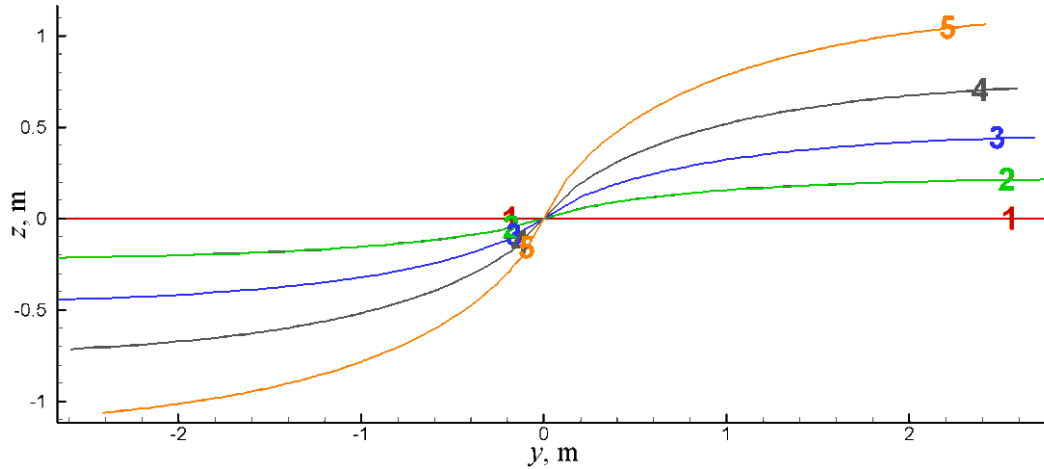


## Наибольшее влияние имеют

- Соотношение напряжений в естественном залегании
- Угол наклона зародышевой трещины
- Реология и скорость закачки жидкости
- Трещиностойкость породы

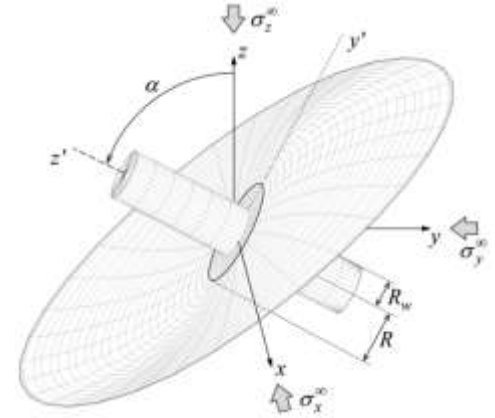
## ...поперечная трещина

### Траектория

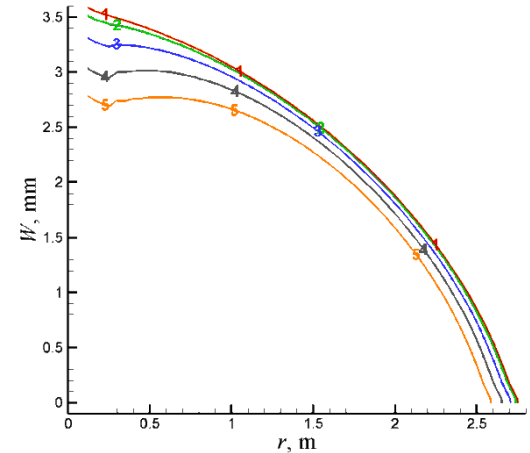


- Эффект пережатия для поперечной трещины выражен слабее (снижение ширины не более 25%), чем для продольной (до 80%)

## Задача о наклонной поперечной трещине

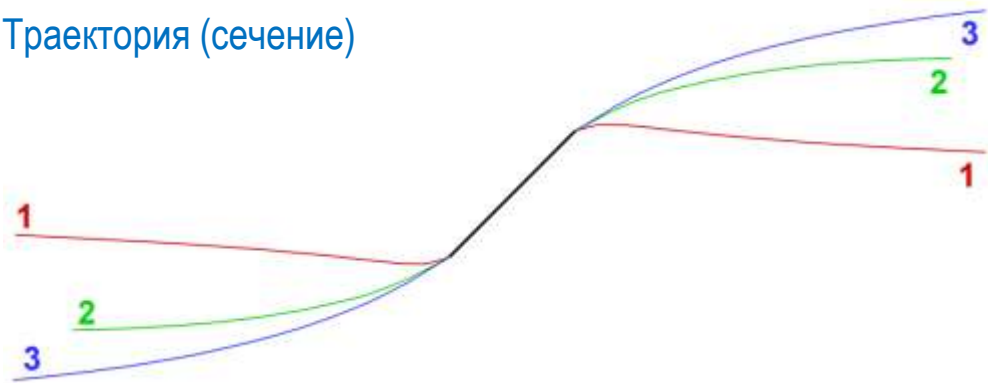


### Распределение раскрытия вдоль радиуса



# Влияние вязкости жидкости на форму трещины

Траектория (сечение)



$\mu, Pa \cdot s$

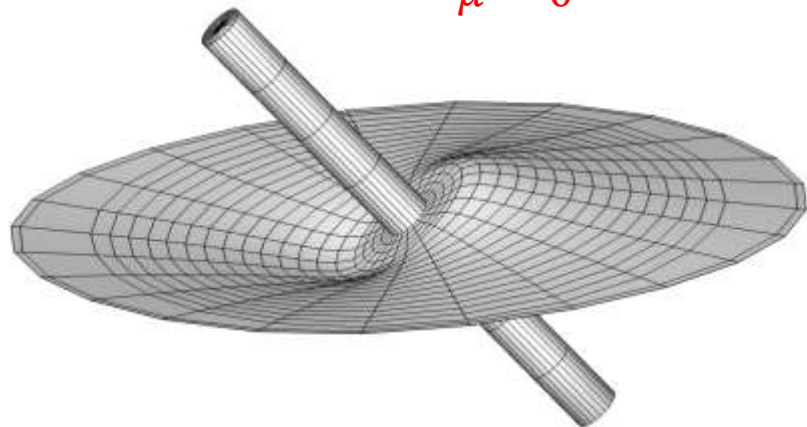
1 - 0

2 - 0.03

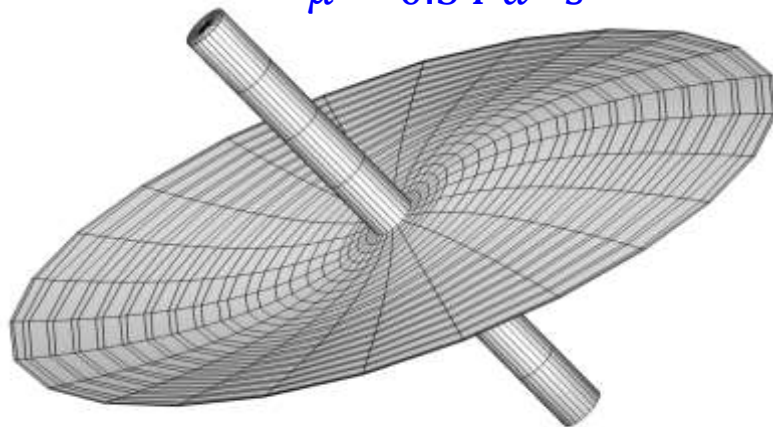
3 - 0.3

Вид трещины

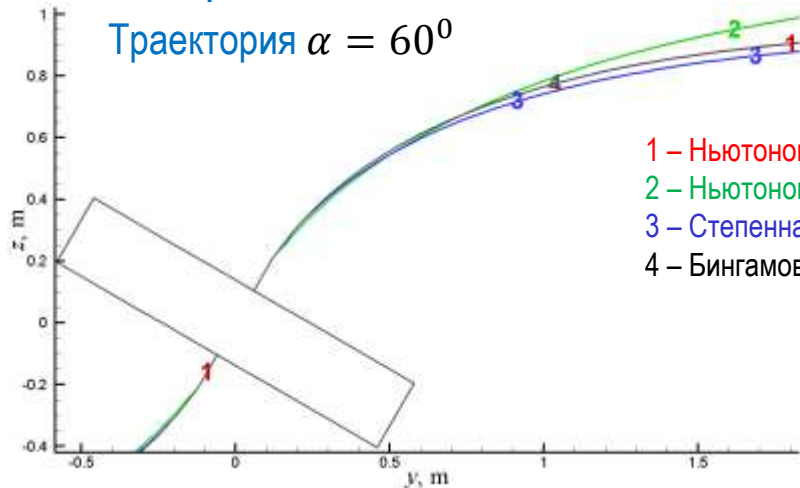
$\mu = 0$



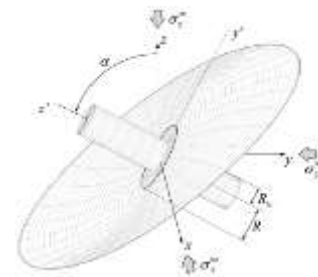
$\mu = 0.3 Pa \cdot s$



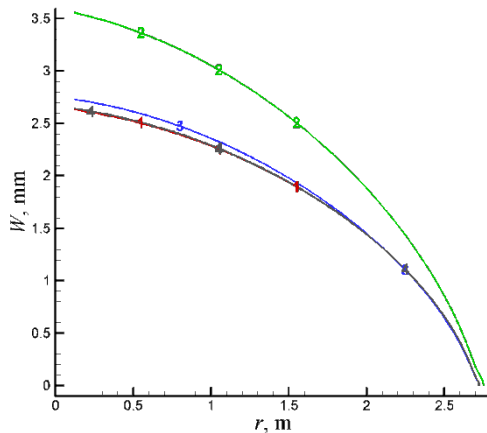
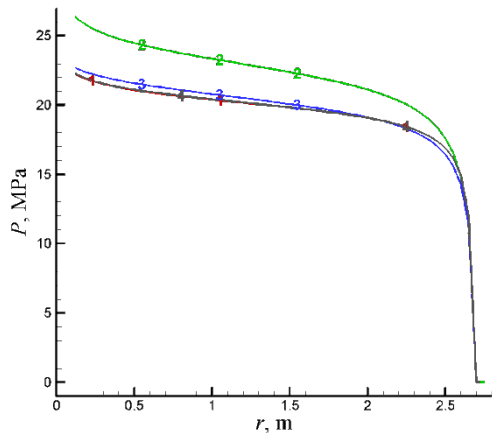
# Область применимости моделей жидкости: формирование траектории



- 1 – Ньютоновская 1  $K = 0.075 Pa \cdot s, n = 1, \tau_0 = 0 Pa$
- 2 – Ньютоновская 2  $K = 0.3 Pa \cdot s, n = 1, \tau_0 = 0 Pa$
- 3 – Степенная  $K = 0.3 Pa \cdot s, n = 0.8, \tau_0 = 0 Pa$
- 4 – Бингамовская  $K = 0.075 Pa \cdot s, n = 1, \tau_0 = 11 Pa$



## Распределение давления и ширины $\alpha = 0^\circ$



На начальном этапе распространения можно использовать модель Ньютоновской жидкости

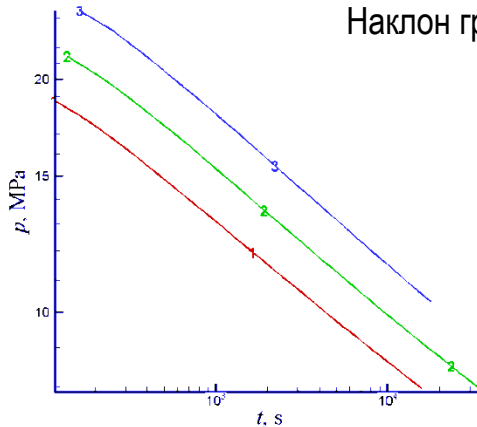
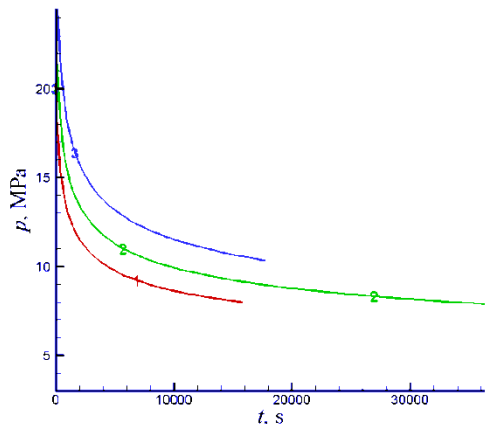
- Для описания степенной жидкости нужно пересчитывать вязкость\*  $\mu_{app} < K$
- Предельное напряжение сдвига  $\tau_0$  можно отбрасывать

$$\mu_{app}^* = C_\xi \frac{\theta_n^{\frac{3}{n+2}} t^{\frac{2-2n}{n+2}}}{12 E'_{n+2}^{\frac{1-n}{n+2}}} K^{\frac{3}{n+2}}$$

\* Linkov, A. Bench-mark solution for a penny-shaped hydraulic fracture driven by a thinning fluid // ArXiv e-prints 2015

## ...развитая трещина

Давление в скважине: Ньютонская жидкость



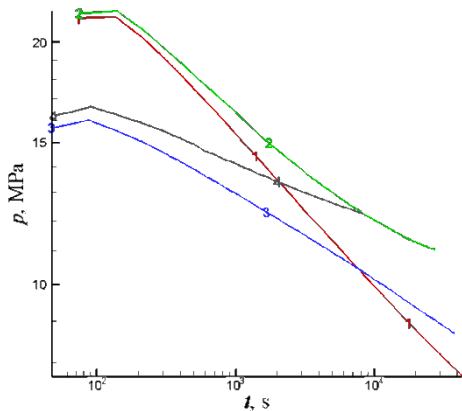
Наклон графика давления постоянный

1 –  $K = 500 Pa \cdot s$

2 –  $K = 1000 Pa \cdot s$

3 –  $K = 2000 Pa \cdot s$

## ...жидкость Гершеля-Балкли



Наклон графика давления зависит от параметров реологии

1 – Ньютонская

$n = 1, \tau_0 = 0$

2 – Бингамовская

$n = 1, \tau_0 = 400 Pa$

3 – Степенная

$n = 0.5, \tau_0 = 0 Pa$

4 – Гершеля-Балкли

$n = 0.5, \tau_0 = 400 Pa$

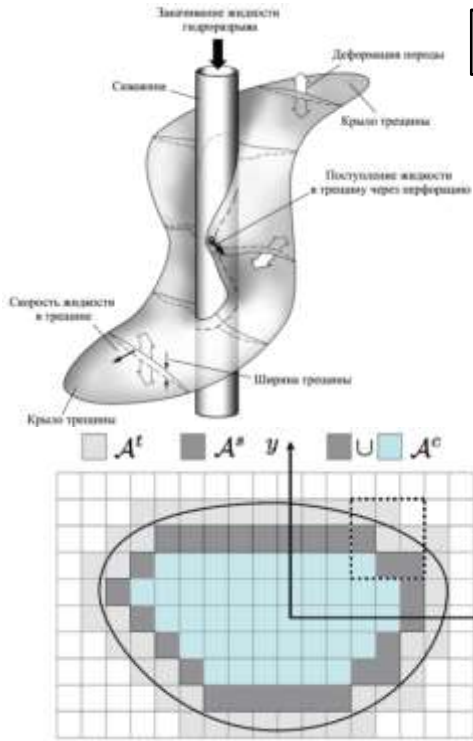
Для развитой трещины необходимо использовать модель неньютоновской жидкости

## Выводы по главе 4

- Трехмерная модель распространения трещины, вызванной закачкой вязкой жидкости, применена для исследования распространения трещины гидроразрыва пласта. Результатом моделирования являются зависимости давления в скважине от времени, распределения ширины и давления вдоль поверхности трещины, сама поверхность трещины.
- Проведена верификация модели путем сравнения с результатами расчетов, полученными по одномерным моделям и с аналитическими решениями.
- Показано, что при инициации трещины в направлении, не совпадающем с плоскостью действия минимальных напряжений возникает пережатие трещины в окрестности скважины.
- Для продольной к скважине трещины пережатие выражено значительно сильнее, чем для поперечной, и оказывает больший эффект на падение давления в прискважинной области.
- На основе численного анализа чувствительности и на основе безразмерного анализа определены границы применимости моделей жидкости сложной реологии в трещине
  1. На этапе формирования траектории можно использовать модель ньютоновской жидкости с правильно подобранным коэффициентом эффективной вязкости  
Предельное напряжение сдвига не оказывает влияния на распространение трещины
  2. Для развитой трещины необходимо использовать модель неньютоновской жидкости

## Глава 5. Иерархия моделей распространения трещины при закачке в нее вязкой жидкости

# Иерархия моделей



Трехмерная

*Поверхность трещины задана*

Трещина на границе материалов

*Поверхность трещины – плоскость*

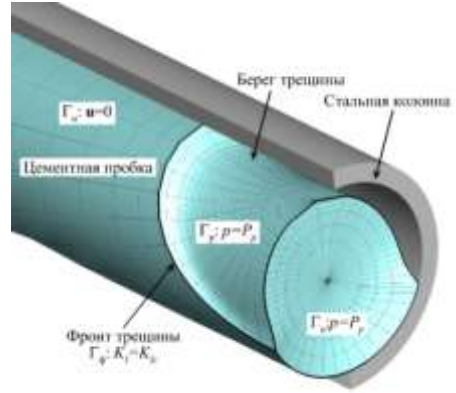
Плоская трехмерная

*Все направления равнозначны*

Радиальная

*Длина много больше высоты*

Трещины РКН-типа



# Модель трещины, распространяющейся по границе материалов

Упрощение трехмерной модели:

Неявный глобальный критерий распространения

$$\Gamma^f = \Gamma^f(p)$$

Трехмерная модель:

$$K_I = K_{Ic}, \quad K_{II} = K_{III} = 0 \quad \rightarrow \quad \Delta L, \Theta$$

Трещина на границе:

$$K_I = K_{Ic} \rightarrow \Delta L$$

Причины перетока жидкости\*

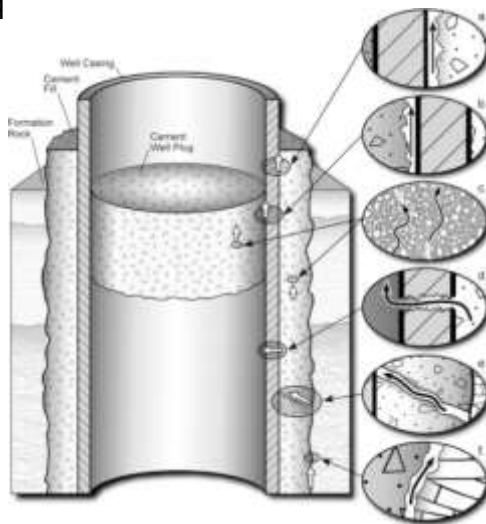
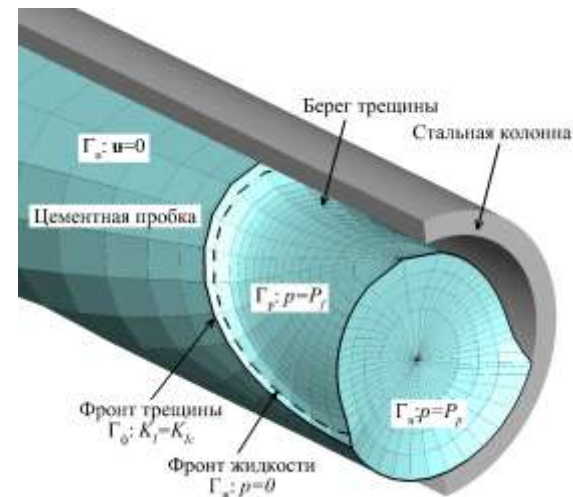


Схема трещины в пробке



Цель разработки:

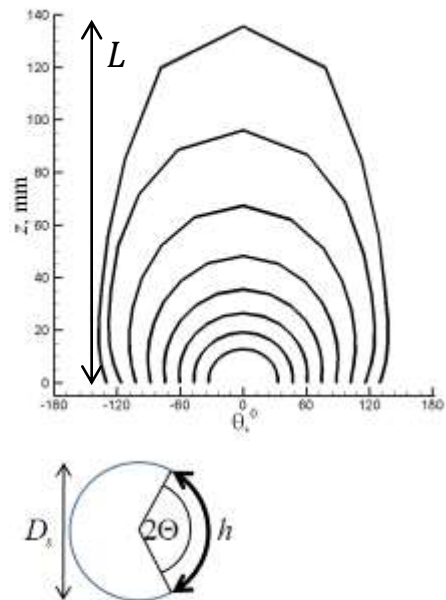
При каких условиях происходит распространение по границе пробка-обсадная колонна?

Определить что влияет на прочность пробки и скорость распространения трещины?

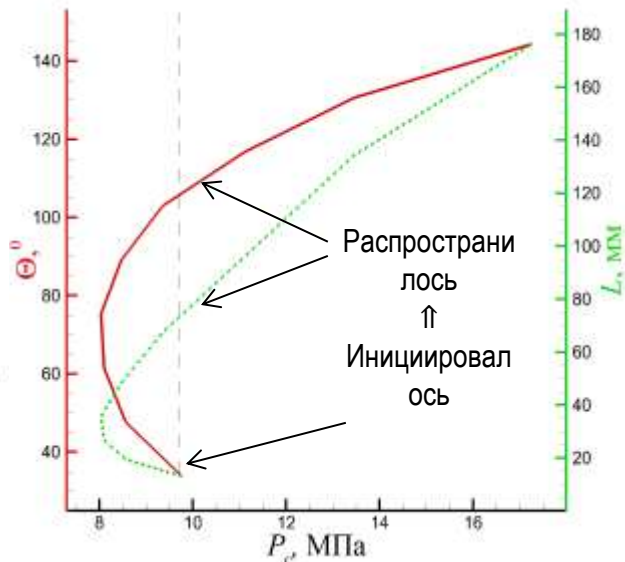
\* Gasda S. E., Bachu S., Celia M. A. Env. Geology, 2004, vol. 46, no. 6, p. 707-720.

# Нарушение гидроизоляции скважины \*

Инициация: Фронт при постоянном давлении



## Зависимость размеров от давления

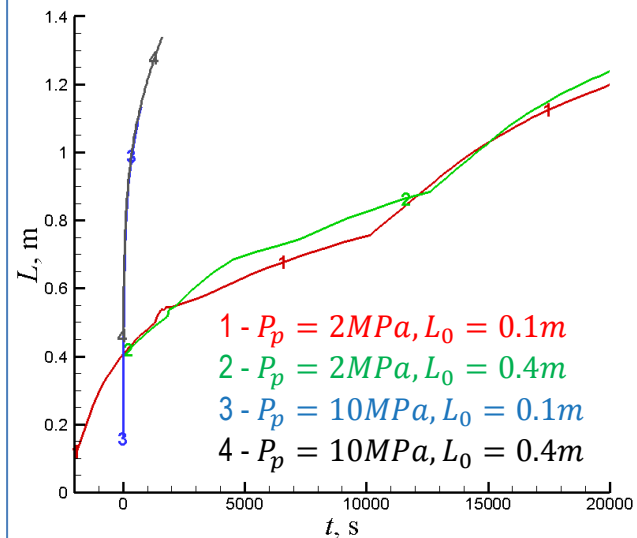


Инициация:

Размер начального дефекта не важен  
Давление начала распространения падает при  
росте трещины

Распространение:

## Зависимость длины от времени



- 1 -  $P_p = 2 \text{ MPa}, L_0 = 0.1 \text{ m}$
- 2 -  $P_p = 2 \text{ MPa}, L_0 = 0.4 \text{ m}$
- 3 -  $P_p = 10 \text{ MPa}, L_0 = 0.1 \text{ m}$
- 4 -  $P_p = 10 \text{ MPa}, L_0 = 0.4 \text{ m}$

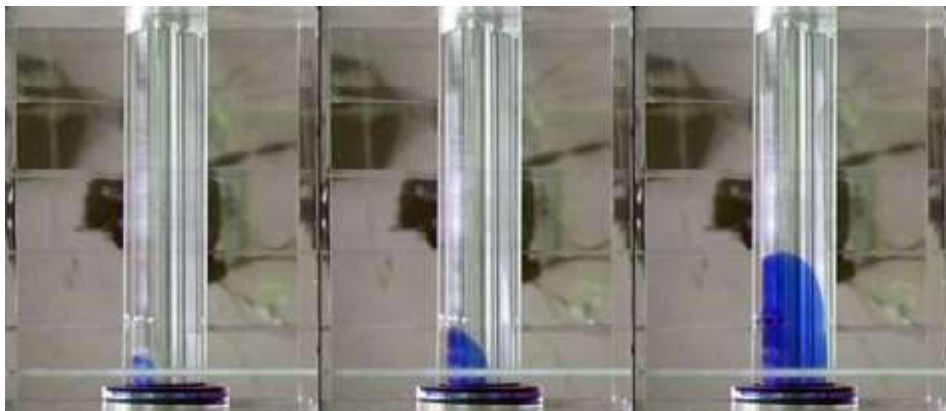
Распространение:

Скорость распространения  
не зависит от размера начального эффекта  
сильно зависит от избыточного давления

\* Лапин В.Н. Вестник НГУ. Серия: Инф. тех. 2020.

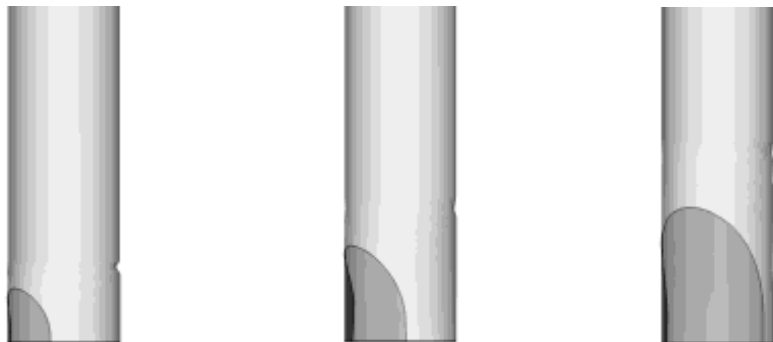
## Валидация модели\*

Форма трещины: эксперимент . . . .

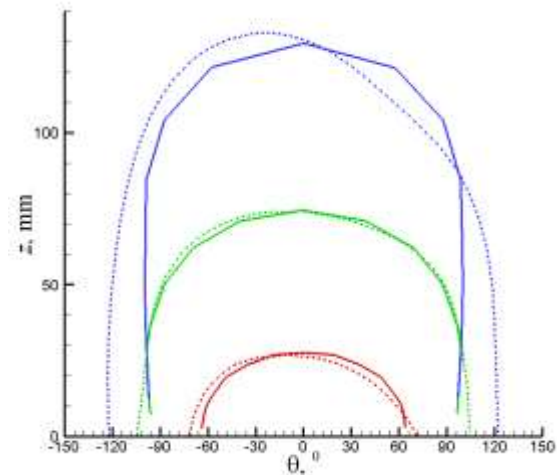


\* Распространение трещины по границе алюминиевой трубки в РММА. Гидроизоляция – эпоксидная смола. Жидкость – вязкая  $\mu = 11.9 Pa \cdot s$  закачивается под давлением 10МПа.

Расчет \_\_\_\_\_



Форма фронта для трещин различной длины



\*Lecampion B., et al. 2013

# Плоскорадиальная модель трещины, распространяющейся под действием закачки смеси жидкости Гершеля-Балкли с пропантом\*, \*\*

Предположение: плоская круговая трещина

Упрощения: аналитическое выражение для ширины трещины, одномерные уравнения

Усложнения: фильтрация в породе, перенос пропанта

Деформация породы

$$w(r) = 4 \frac{1-\nu}{\pi\mu} \int_0^{R_{frac}} \int_0^{R_{frac}} \frac{p(\rho)\rho}{\sqrt{x^2 - \rho^2}\sqrt{x^2 - r^2}} d\rho dx$$

Течение несущей фазы

$$\frac{\partial(rw)}{\partial t} + \frac{1}{2\pi} \frac{\partial Q}{\partial r} + Q_L = 0$$

$$\frac{\partial p}{\partial r} = -2K \left( \frac{2n+1}{\pi n} \right)^n + \frac{Q^n}{w^{2n+1}r^n} + \left( \frac{4n+2}{n+1} \right) \frac{\tau_0}{w}$$

Перенос пропанта

$$\frac{\partial \rho W c}{\partial t} + \frac{1}{2\pi} \frac{\partial Q c}{\partial r} = 0$$

Граничные условия

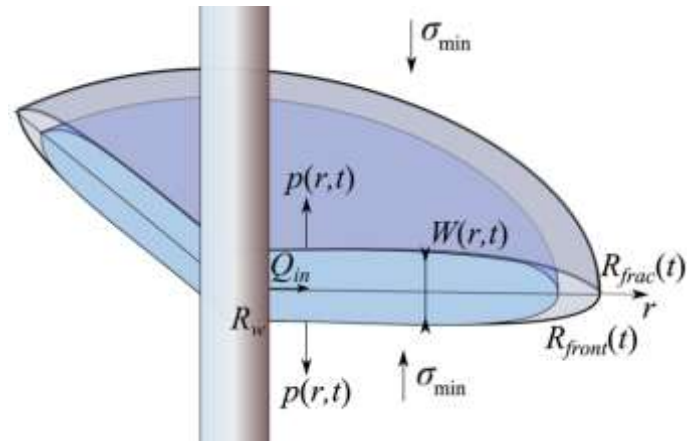
$$p(R_{front}) = p_{pore}, \quad Q(R_w) = Q_{in}(t), \quad c(R_w) = c_{in}(t)$$

Разрушение и распространение

$$K_I \equiv \frac{2}{\sqrt{\pi R}} \int_0^{R_{frac}} \frac{p(\rho)\rho}{\sqrt{R^2 - \rho^2}} d\rho = K_{IC}, \quad \frac{\partial R_{front}}{\partial t} = \frac{Q_{front}}{2\pi R_{front} W_{front}}$$

Фильтрация в породе

$$Q_L = \frac{2C_L r}{\sqrt{t - t_{exp}(r)}}$$



\* Есипов Д.В., Куранаков Д.С., Лапин В.Н., Чёрный С.Г. Выч. техн. 2014.

\*\* Lapin V.N., Esipov D.V. RJNAMM, 2020

# Определение параметров трещиновато-пористой среды по утечкам бурового раствора\*

## Заданные параметры

Реология бурового раствора  $K, n, \tau_0$

Давление в скважине  $p_w$

Потери раствора  $Q_{in}$

Параметры породы  $E, \nu, \sigma_{min}, C_L, p_{pore}$

## Требуемые параметры

Число  $N$  и ширина трещин  $W$

## Модель утечки раствора

Аналогична модели радиальной трещины

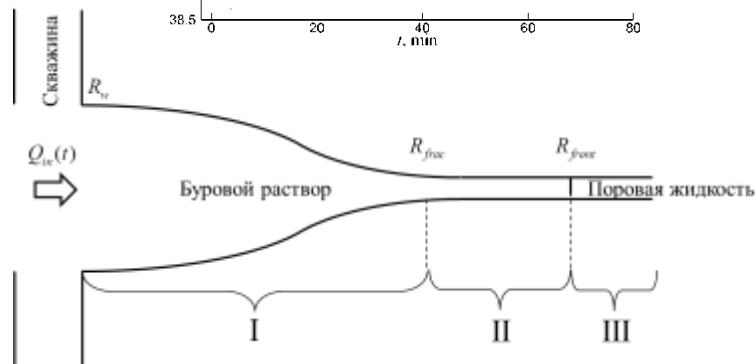
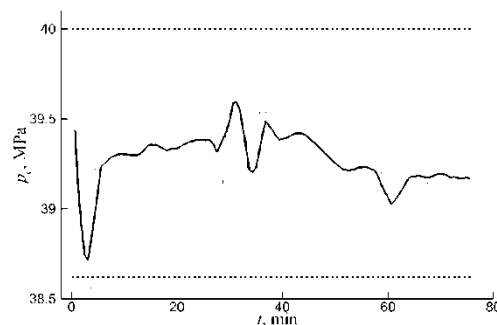
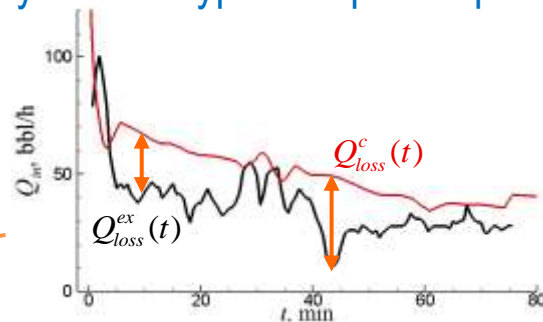
Отличия:

- Трещина открыта заранее на ширину  $W_0$
- Условие распространения  
 $K_I = K_{Ic} \rightarrow K_I = 0$
- Отставание фронта трещины от фронта жидкости

## Решение обратной задачи

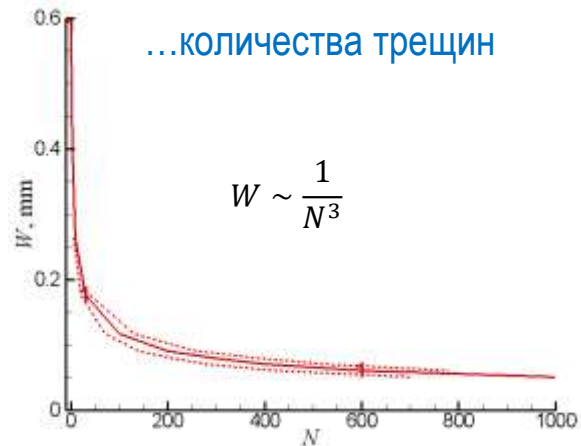
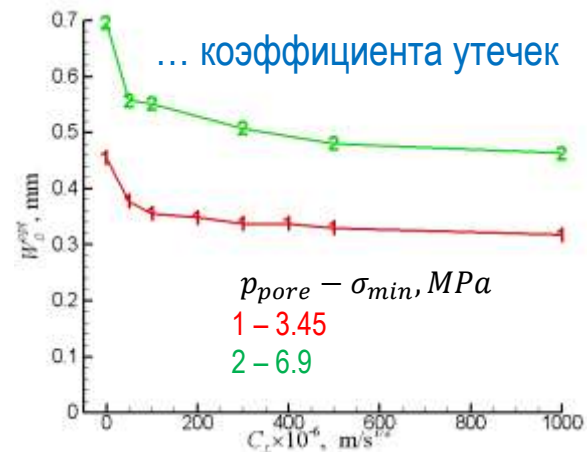
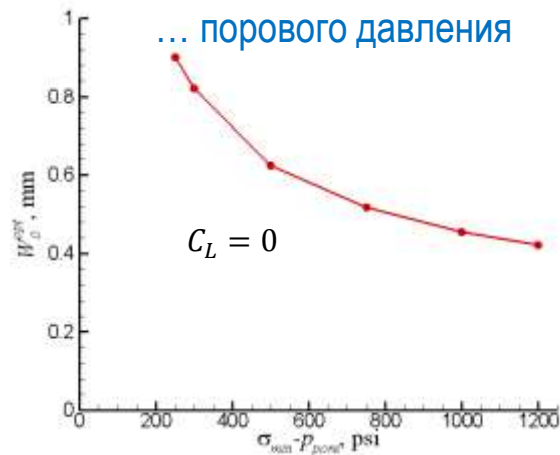
Генетический алгоритм

Метод золотого сечения



\* Лапин В.Н. Выч. техн. 2019.

## Чувствительность ширины к изменению основных параметров:



## Выводы

- Можно определить только один из параметров  $W$  или  $N$
- Для среднего количества трещин ( $10 \leq N \leq 100$ ) результаты совпадают с полученными по модели потерь в трещиновато-пористую среду
- Определено влияние основных параметров на величину потерь

## Выводы по главе 5

- Предложена иерархия моделей, основанная на трехмерной модели гидроразрыва пласта и полученная применением упрощающих предположений о форме трещины
- Упрощающие предположения за счет ограничения области применимости моделей позволяют повысить эффективность расчетов и включить в модели описание дополнительных процессов, протекающих при распространении трещины
- Иерархия включает в себя
  - Модель трещины, распространяющейся по границе материалов
  - Плоскорадиальную модель трещины... с проппантом
  - Модели длинной трещины... с проппантом
- На основе моделей, входящих в иерархию
  - Проведено описание распространения трещины по границе обсадной колонны и установлены факторы, влияющие на стойкость гидроизоляции скважины
  - Разработана методика определения параметров трещиновато-пористой среды по данным о потерях бурового раствора
  - Показана возможность увеличения длины трещины путем выбора расписания закачки жидкости и проппанта

# Результаты, выносимые на защиту

## Пункт 1: Разработка новых математических методов моделирования...

**Трехмерная модель** распространения неплоской трещины, **одновременно** описывающая

- 1) движение жидкости **сложной** реологии в узком двумерном канале (трещине),
- 2) распространение на основе **неявного глобального** критерия выбора направления,
- 3) деформацию породы в окрестности скважины и трещины

## Пункт 3: Разработка эффективных вычислительных методов...

Методы одновременного решения связанных систем **нелинейных** уравнений модели в

- 1) задаче «гидродинамика-упругость», 2) уравнениях движения жидкости сложной реологии, 3) неявном критерии распространения трещины.

## Пункт 4: Реализация ... в виде комплексов проблемно-ориентированных программ

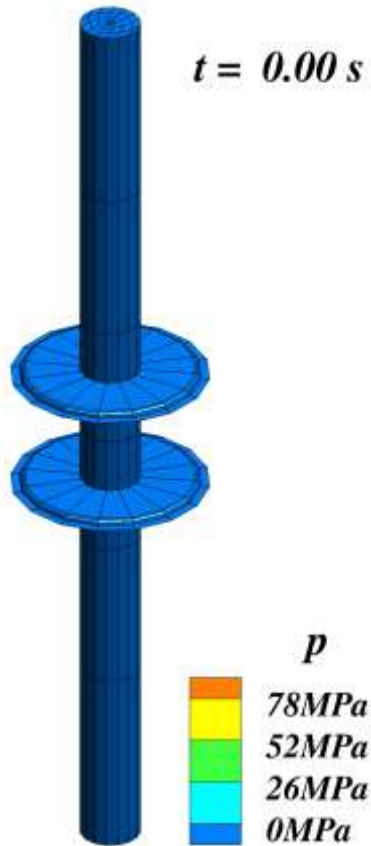
Программный комплекс для решения задачи **распространения трещины**, нагруженной давлением вязкой жидкости, от полости в упругой среде, по границе между материалами, в теле конечных размеров

## Пункт 5: Комплексные исследования научных и технических проблем...

- 1) Решена задача криволинейного распространения трещины от полости – установлен **эффект пережатия** трещины.

Показаны вызывающие его **факторы**, **влияние** на трещину, **применимые модели**

- 2) Влияние параметров **гидроизоляции скважин** на ее стойкость
- 3) Влияние параметров трещиновато-пористой среды на **потери бурового раствора**



Спасибо за внимание

